

التقرير ITU-R SA.2098

نماذج الكسب المحساني لهوائيات محطات الأرض واسعة الفتحة في خدمة الأبحاث الفضائية من أجل تحليل التوافق بوجود عدد كبير من مصادر التداخل الموزعة

(2007)

مقدمة**1**

تجري دراسات التوافق بين محطات الأرض في خدمة الأبحاث الفضائية (SRS) والأنظمة الثابتة عالية الكثافة في النطاقين GHz 32,3-31,8 و GHz 38-37.

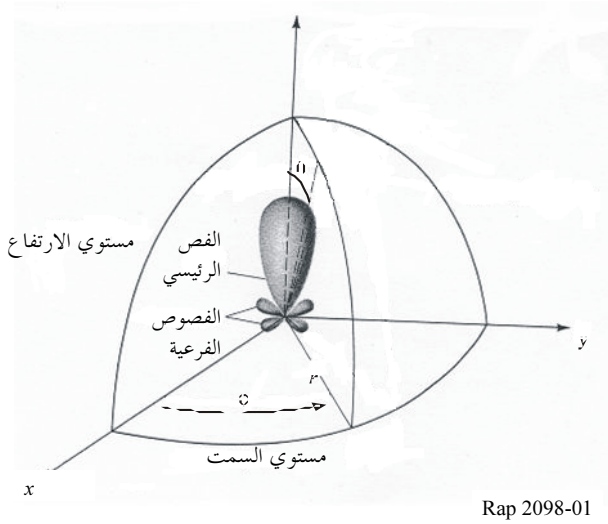
ومن المعلومات الرئيسية التي يتعين تعريفها لتحديد سوية التداخل التي قد يحدث في محطات الأرض في الخدمة SRS مخطط الموائي الواجب استعماله في الحسابات. وهنالك مخطط إشعاع غلاف الذروة للأنظمة اللاسلكية الثابتة وارد في التوصية ITU-R F.699، وهنالك مخطط إشعاع يمثل متوسط سويات الفضي الجانبي لأنظمة المرحلات الراديوية من نقطة إلى نقطة في خط البصر وارد في التوصية ITU-R F.1245. وعندما يطبق مخطط التوصية ITU-R F.699 فقط في الروابي القطبية التي تزيد عن 1° فإنه يكون نفس المخطط الوارد في التوصية ITU-R SA.509. وتعد مخططات إشعاع غلاف الذروة للمحطات الأرضية العاملة في الخدمة الثابتة الساتلية (FSS) في التوصيتين ITU-R S.580 و ITU-R S.465، وهنالك مخطط إشعاع يمثل متوسط سويات الفضي الجانبي في المحطات الأرضية في الخدمة الثابتة الساتلية وارد في التوصية ITU-R S.1428. ويقارن هذا التقرير ما بين أداء هذه المخططات ويقدم نموذجاً جديداً.

وتنطوي المخططات الفعلية والواقعية على العديد من العوامل وهي على قدر من التعقيد والاختلاف بحيث لا يمكن أن تؤخذ في الحسبان على وجه الدقة في عملية حساب نظرية بسيطة. مثل ذلك، أن موقع نقاط الخمود والذروة في مناطق الفضي الجانبي مختلف بدلالة تحمل جاذبية الموائي والرياح وغير ذلك، وأفضل تمثيل لها في شكل غلاف. وقد اقترح على مر السنين العديد من نماذج المخططات للهوائيات العاكسة الكبيرة (انظر مثلاً التوصية ITU-R F.1245-1 - نموذج حسابي لمخططات إشعاع متوسطة ونسبة هوائيات أنظمة مرحلات راديوية من نقطة إلى نقطة في خط البصر للاستعمال في بعض دراسات التنسيق وتقييم التداخل في مدى التردد من 1 GHz إلى نحو 70 GHz، والتوصية ITU-R SA.509-2 - محطة أرضية لأبحاث الفضاء وخطط إشعاع هوائي مرجعي للفلك الراديوي للاستعمال في حسابات التداخل، بما في ذلك إجراءات التنسيق، والتوصية ITU-R SA.1345 - أساليب للتنبؤ بمخططات إشعاع هوائيات كبيرة تستعمل في الأبحاث الفضائية والفضلك الراديوي، وانظر أيضاً [2003، Jamnejad].).

وتحت طريقة بسيطة ولكنها فعالة لتوصيف مخطط هوائي فعلي تكمن في استعمال نموذج يقوم على أساس نتائج نظرية وتحريمية عديدة ويوفر حداً أعلى و/أو أدنى أو غلافاً للهوائي ويمكن تطبيق هذا النموذج بسهولة في العديد من الأحوال. ومثالياً، كما نوقش في التوصية ITU-R F.1245، وتبعاً لتعريف التجاهية هوائي ما، ينبغي تطبيق معادلة حساب متوسط معدل الكسب g_a على نموذج الكسب G المقدر بوحدة dB:

$$g_a = \frac{1}{4\pi} \int_0^{2\pi} \int_0^{\pi} g(\theta, \varphi) \sin(\theta) d\theta d\varphi = 1$$

حيث θ الزاوية القطبية من خط التسديد و φ زاوية السمت، كما هو مبين في الشكل التالي:



وبالنسبة لمخطط متناظر دائرياً تختزل المعادلة لتصبح:

$$g_a = \frac{1}{2} \int_0^{\pi} g(\theta) \sin(\theta) d\theta = 1$$

وتقدير نماذج الكسب عموماً بوحدة dB كمعاملة G التي تنسب إلى معدل الكسب g بالمعادلة:

$$G(\theta, \varphi) = 10 \log(g(\theta, \varphi))$$

أو

$$g(\theta, \varphi) = 10^{\frac{G(\theta, \varphi)}{10}}$$

وفي النماذج التي تقترح عادةً فيما يكتب عن الموضوع، ونظرًا لاستعمال غالٍ حد أعلى أو أي تقرير آخر مماثل يستعمل بدلاً من المخطط الفعلي، فإن قيم متوسط الكسب، المحسوبة من علاقات التكامل الواردة أعلاه، أكبر بكثير من الوحدة (أو أكبر من 0 مقدرة بوحدة dB). ولكن من الممكن استعمالها بمثابة اختبار صلاحية لتقييم الدقة العامة للنموذج مقارنة بالمخطط الفعلي للهواي. وتعتبر عموماً قيمة تقل عن 2 أو قريبة منه (أقل من 3 dB) قيمة تقريبية معقولة.

وهنا نقوم بتقييم الطرف الأيسر من المعادلة من حيث التكامل عدياً من أجل عدد من نماذج الكسب المتناظرة دائرياً ونقدم منحنيات بيانية لنفاوت قيمتها بدلالة معلمات الهواي، من قبيل التردد وقطر الفتحة.

نماذج الكسب 2

في جميع النماذج الواردة أدناه، تقدر قيمة الكسب بوحدة dB وتقدر الزوايا بالدرجات، وكذلك:

(m) قطر الفتحة الرئيسية للهوائي (D)

$$(m) \lambda = \frac{c}{f} = \frac{0.3}{f_{GHz}}$$

ونقتصر في هذا البحث على الفتحات الواسعة حيث $D/\lambda < 100$.

نموذج التوصية ITU-R F.699-7 أ)

تقترح التوصية ITU-R F.699-7 مخطط الإشعاع التالي (غلاف أعظمي) بالنسبة إلى مدى التردد GHz 70-1:

$$\begin{aligned} G(\theta) &= G_{max} - 2.5 \times 10^{-3} \left(\frac{D}{\lambda} \theta \right)^2 && \text{for } 0^\circ < \theta < \theta_m \\ G(\theta) &= G_1 && \text{for } \theta_m \leq \theta < \theta_r \\ G(\theta) &= 32 - 25 \log_{10}(\theta) && \text{for } \theta_r \leq \theta < 48^\circ \\ G(\theta) &= -10 && \text{for } 48^\circ \leq \theta \leq 180^\circ \end{aligned}$$

لاحظ لو اعتبرنا θ_r قدرها 1° عندئذ يكون نموذج كسب التوصية ITU-R F.699-7 المحدد من 1° إلى 180° نفس النموذج الوارد في التوصية ITU-R SA.509.

حيث:

$$\begin{aligned} G_{max} &= 10 \log \left(\eta \left(\frac{\pi D}{\lambda} \right)^2 \right) \\ G_1 &= 2 + 15 \log_{10} \left(\frac{D}{\lambda} \right) \\ \theta_m &= 20 \sqrt{G_{max} - G_1} \left(\frac{D}{\lambda} \right)^{-1} \\ \theta_r &= 15.85 \left(\frac{D}{\lambda} \right)^{-0.6} && \text{for } D/\lambda > 100 \end{aligned}$$

نموذج التوصية ITU-R RA.1631 ب)

اقترحت فرنسا استعمال النموذج الوارد في التوصية ITU-R RA.1631. والنموذج ليس غلاف ذروة وإنما مخطط متوسط محدد كما يلي:

$$\begin{aligned} G(\theta) &= G_{max} - 2.5 \times 10^{-3} \left(\frac{D}{\lambda} \theta \right)^2 && \text{for } 0^\circ < \theta < \theta_m \\ G(\theta) &= G_1 && \text{for } \theta_m \leq \theta < \theta_r \\ G(\theta) &= 29 - 25 \log_{10}(\theta) && \text{for } \theta_r \leq \theta < 10^\circ \\ G(\theta) &= 34 - 30 \log_{10}(\theta) && \text{for } 10^\circ \leq \theta < 34.1^\circ \end{aligned}$$

$$\begin{aligned}
 G(\theta) &= -12 && \text{for } 34.1^\circ \leq \theta < 80^\circ \\
 G(\theta) &= -7 && \text{for } 80^\circ \leq \theta < 120^\circ \\
 G(\theta) &= -12 && \text{for } 120^\circ \leq \theta \leq 180^\circ
 \end{aligned}$$

حيث:

$$G_{max} = 20 \log \left(\frac{\pi D}{\lambda} \right)$$

$$G_1 = -1 + 15 \log_{10} \left(\frac{D}{\lambda} \right)$$

$$\theta_m = 20 \sqrt{G_{max} - G_1} \left(\frac{D}{\lambda} \right)^{-1} \quad \text{درجات}$$

$$\theta_r = 10^{1.28k^2 - 0.08k} \left(\frac{D}{\lambda} \right)^{-0.6k} \quad \text{أو} \quad \theta_r = 15.85 \left(\frac{D}{\lambda} \right)^{-0.6}$$

$$1 = k \quad \text{بالدرجات، عندما} \quad \theta_r = 15.85 \left(\frac{D}{\lambda} \right)^{-0.6}$$

ج) نموذج التوصية 1-1245 ITU-R F.1245

تقترن التوصية 1-1245 ITU-R F.1245 بمخطط الإشعاع المتوسط التالي لمدى التردد 40-1 GHz وبصورة مؤقتة لدى التردد 70-40 GHz:

$$\begin{aligned}
 G(\theta) &= G_{max} - 2.5 \times 10^{-3} \left(\frac{D}{\lambda} \theta \right)^2 && \text{for } 0^\circ < \theta < \theta_m \\
 G(\theta) &= G_1 && \text{for } \theta_m \leq \theta < \theta_r \\
 G(\theta) &= 29 - 25 \log_{10}(\theta) && \text{for } \theta_r \leq \theta < 48^\circ \\
 G(\theta) &= -13 && \text{for } 48^\circ \leq \theta \leq 180^\circ
 \end{aligned}$$

حيث:

كسب الذروة: G_{max}

$$G_1 = 2 + 15 \log_{10} \left(\frac{D}{\lambda} \right)$$

$$\theta_m = 20 \sqrt{G_{max} - G_1} \left(\frac{D}{\lambda} \right)^{-1}$$

$$\theta_r = 12.02 \left(\frac{D}{\lambda} \right)^{-0.6}$$

د) النموذج Jp (غلاف الذروة)

هذا نموذج جديد يوفر غلاف الذروة لجميع نطاقات التردد موضع الاهتمام. وهو مماثل لنموذج التوصية ITU-R F.699 مع بعض التعديلات. وتناول التعديلات الحالات التالية:

- (i) يتفاوت عرض الحزمة الرئيسية في المخطط إلى حد ما تبعاً لمختلف معلمات الهوائي مثل إنارة الفتحة وعملية السد وأخطاء السطح، وغير ذلك. ويعرف عرض حزمة نصف القدرة وحيدة الجانب بأنه $\theta_{hp} = 0.5C_{hp}/(D/\lambda)$ حيث الثابت C_{hp} له قيمة تقريرية تتراوح بين 65 و 71. وزيادة في دقة النماذج يمكن أن تتفاوت هذه المعلمة تبعاً لنمط ونوعية الهوائي المستعمل. وتم هنا اختيار قيمة $C_{hp} = 69$ للتوافق مع التوصية ITU-R F.699.
- (ii) تحدد منطقة الكتف المسطحة من المخطط عند قيمة أكثر واقعية. ولا توقف هذه القيمة عادةً على أبعاد الهوائي أو طول الموجة، وإنما هي دالة معقدة نوعاً ما لإنارة الفتحة وعامل السد. وتستخدم قيمة 17 dB التي يمكن تعديليها عند اللزوم.
- (iii) تؤخذ كفاءة المخطط في الحساب عند تحديد الذروة وكذلك منحدر المخطط النموذجي. وهذا خلافاً لما في النماذج الأخرى التي تعتبر المنحدر ثابتاً. وكفاءة المخطط عبارة عن حصيلة كفاءة إنارة الفتحة وكفاءة السد وكفاءة الانسكاب والكافأة بسبب أخطاء السطح. ونقوم بفصل الكفاءة إلى مكونة تسامح السطح التي تتوقف مباشرة على التردد ونضع الكفاءات الأخرى جيئاً في مكونة منفصلة مستقلة إلى حد ما عن التردد.
- (iv) وتدخل في المخطط منطقة منصة مرتفعة بمقدار 5 dB في منطقة فض الجانب البعيد المسطح في المخطط، في المدى 80° إلى 120°، لرعاة الآثار الممكنة لانسكاب العاكس الرئيسي الذي يتفاوت ارتفاعه وموقعه على وجه الدقة باختلاف النسبة F/D (نسبة طول البؤرة إلى القطر) ومعلمات التصميم الأخرى للهوائي العاكس. وقلما تخضع هذه المنصة لأحكام الملاحظة 2 الواردة أدناه.

وهكذا يستنبط مخطط النموذج على النحو التالي:

$$\begin{aligned}
 G(\theta) &= G_0 - 3 \left(\frac{\theta}{\theta_{hp}} \right)^2 && \text{for } 0^\circ \leq \theta \leq \theta_1 \\
 G(\theta) &= G_0 - G_1 && \text{for } \theta_1 < \theta \leq \theta_2 \\
 G(\theta) &= G_0 - G_1 - G_2 \log_{10} \left(\frac{\theta}{\theta_2} \right) && \text{for } \theta_2 < \theta \leq \theta_3 \\
 G(\theta) &= G_3 && \text{for } \theta_3 < \theta \leq 80^\circ \\
 G(\theta) &= G_3 + 5 && \text{for } 80^\circ < \theta \leq 120^\circ \\
 G(\theta) &= G_3 && \text{for } 120^\circ < \theta \leq 180^\circ
 \end{aligned}$$

وبالتالي:

$$\begin{aligned}
 G_0 &= 10 \cdot \log_{10} \left[\eta_a \left(\frac{\pi D}{\lambda} \right)^2 \right] - 4.343 \left(\frac{4\pi h_{rms}}{\lambda} \right)^2 \\
 G_1 &= 17
 \end{aligned}$$

$$\begin{aligned}
 G_2 &= 27 + 10 \left[\log_{10}(\eta_a) - \log_{10} \left(60 \frac{h_{rms}}{\lambda} \right) \right] \\
 G_3 &= -10
 \end{aligned}$$

$$\theta_{hp} = 0.5 \frac{C_{hp}}{(D/\lambda)} \quad (65 \leq C_{hp} \leq 70) \quad \text{القيمة الإسمية} = 69$$

$$\theta_1 = \theta_{hp} \sqrt{\frac{G_1}{3}}$$

$$\theta_2 = \theta_{hp} 10^{\frac{G_1}{G_2}} \sqrt{\frac{G_2}{36}}$$

$$\theta_3 = \theta_2 10^{\frac{G_0 - G_1 - G_3}{G_2}}$$

تشير قيمة η_a إلى كفاءة الهوائي المتصلة بالمخيط (إنارة الفتحة، الانسكاب، السد، وغيرها) باستثناء الكفاءة المترنة بتسامح السطح. ويلاحظ في هذا النموذج أن الكسب عند خط التسديد يتناقص بتناقص η_a ولكن كسب المنحدر G_2 في مدى الروايا بين θ_2 و θ_3 يزداد بتزايد η_a . وهذا يعكس الحقيقة الواقعية بأن أي نقص في كسب الذروة لابد وأن تصاحبه زيادات في مناطق الفصوص الجانبيه. وهذا الجانب لا تشمله النماذج الأخرى.

الملاحظة 1 – تدرج خسارة الكسب الناجمة عن تسامح السطح بشكل منفصل كدالة لقيمة h_{rms} ، تسامح السطح، التي تؤثر أيضاً على منحدر نموذج المخيط. ويكون المدى الصالح لتسامح السطح لاستعماله في المعادلات الواردة أعلاه كما يلي:

$$\frac{1}{60} \leq \frac{h_{rms}}{\lambda} \leq \frac{1}{15}$$

وأي قيمة لنسبة h_{rms}/λ فوق $1/15$ يجب استبدالها بالقيمة $1/15$; وأي قيمة دون $1/60$ يجب استبدالها بالقيمة $1/60$.

وهكذا يمكن استعمال القيمة $1/60$ هوائي جيد جداً والقيمة $1/30$ هوائي متوسط الجودة والقيمة $1/15$ هوائي رديء.

الملاحظة 2 – في حالات نادرة، ولأخطاء سطوح كبيرة، قد تتجاوز θ_3 مقدار 80° ، وهنا يحدث تراكب لمنطقة الفص الجانبي المنحدر مع المضبة المسطحة في المنطقة 80° - 120° . وفي مثل هذه الحالات يجب انتقاء القيمة العظمى للاثنين عند كل زاوية.

هـ) النموذج Ja (المتوسط)

بالإضافة إلى غلاف الذروة يمكن تحديد غلاف متوسط للكسب عند أي زاوية معينة في منطقة الفص الجانبي، وهو مفید بالمفهوم التالي. لنفترض عدداً من الهوائيات وزاوية ثابتة معينة من خط التسديد. وعما أن الهوائيات ليست متماثلة فقد يتحول موقع فصوصها الجانبية بحيث تقع ذروة فص أحد الهوائيات في الاتجاه المبين بينما يكون هوائي آخر نقطة حمود في ذلك الاتجاه وبينما قد يكون هوائي ثالث قيمة تقع بين الذروة والحمود، وهكذا. ولذلك يفترض إمكانية استعمال قيمة متوسطة للكسب في الاتجاه المعين وهي متوسط جميع هذه القيم المتراوحة بين الخمود والذروة. وتبيّن بالنسبة لفص معين له نقطة حمود حادة أن هذا المتوسط يقرب من 3 dB دون ذروة الفص (أقل من ذلك عادةً إذا لم تكون نقاط الخمود حادة بل ومتلائمة إلى حد ما). أما إذا افترضنا أن نموذج غلاف الذروة يلامس جميع نقاط الذروة في الفصوص، عندئذٍ يكون الغلاف المتوسط موازيًّا لهذا الغلاف ولكن دونه بمقدار نحو 3 dB.

وبعًا لذلك، يمكن الحصول على نموذج لغلاف "متوسط" بإدخال تعديل بسيط على النموذج الوارد أعلاه وذلك بزيادة قيمة G_1 بمقدار 3 dB وتنفيض قيمة G_3 بمقدار 3 dB وتعديل قيمة θ_2 تبعًا لذلك. وينبغي الاحتراس في تطبيق هذا النموذج في حالات معينة موضع الاهتمام. من المفترض أن:

$$\begin{aligned}
 G(\theta) &= G_0 - 3\left(\frac{\theta}{\theta_{hp}}\right)^2 && \text{for } 0^\circ \leq \theta \leq \theta_1 \\
 G(\theta) &= G_0 - G_1 && \text{for } \theta_1 < \theta \leq \theta_2 \\
 G(\theta) &= G_0 - G_1 - G_2 \log_{10}\left(\frac{\theta}{\theta_2}\right) && \text{for } \theta_2 < \theta \leq \theta_3 \\
 G(\theta) &= G_3 && \text{for } \theta_3 < \theta \leq 80^\circ \\
 G(\theta) &= G_3 + 5 && \text{for } 80^\circ < \theta \leq 120^\circ \\
 G(\theta) &= G_3 && \text{for } 120^\circ < \theta \leq 180^\circ
 \end{aligned}$$

وبالتالي:

$$\begin{aligned}
 G_0 &= 10 \log_{10} \left[\eta_a \left(\frac{\pi D}{\lambda} \right)^2 \right] - 4.343 \left(\frac{4\pi h_{rms}}{\lambda} \right)^2 \\
 G_1 &= 20 \\
 G_2 &= 27 + 10 \left[\log_{10}(\eta_a) - \log_{10} \left(60 \frac{h_{rms}}{\lambda} \right) \right] \\
 G_3 &= -13
 \end{aligned}$$

$$\theta_{hp} = 0.5 \frac{C_{hp}}{(D/\lambda)} \quad (65 \leq C_{hp} \leq 70, \text{ القيمة الإسمية} = 69)$$

$$\begin{aligned}
 \theta_1 &= \theta_{hp} \sqrt{\frac{G_1}{3}} \\
 \theta_2 &= \theta_{hp} 10^{\frac{G_1-3}{G_2}} \sqrt{\frac{G_2}{36}} \\
 \theta_3 &= \theta_2 10^{\frac{G_0-G_1-G_3}{G_2}}
 \end{aligned}$$

جميع الملاحظات المذكورة بالنسبة إلى النموذج Jp تطبق أيضًا على النموذج Ja.

3 التحليل العددي والنتائج

لقد وضعت بضعة برامج MATLAB وذلك لحساب مختلف نماذج الكسب وكسبها "المتوسط" ورسمها ومقارنتها. وهذه البرامج ميسورة الاستعمال جداً وتتوفر أسلوباً بسيطاً لإضافة نماذج جديدة من أجل التحليل والرسم البياني. وقد أمكن الحصول على النتائج التالية باستعمال هذه البرامج.

يبين كل رسم بياني في الأشكال 6-1 (a و b و c) عدة مخططات للمقارنة. وهي تشمل غلاف ذروة التوصية 7 F.699 (والتي لا تختلف بالنسبة لزوايا 1° عن النموذج الوارد في التوصية 509 ITU-R SA)، ونموذج متوسط الغلاف في التوصية 1631 ITU-R RA، ونموذج الغلاف المتوسط في التوصية 1245-1 ITU-R F.1245-1، وأخيراً نموذج غلاف الذروة المقترن حديثاً "Jp" المستخرج من النموذج الوارد في التوصية 699 ITU-R F.

المقارنة $D/\lambda = 1\ 000$ (مثال ذلك هوائي ذو قطر $34\ m$ يعمل قرب $8,4\ GHz$)

الأشكال 3-1 مرسومة هوائي يبلغ قطره 1 000 طول موجة يقابل هوائي فتحة قطره 34 متراً يعمل قرب النطاق $8,4\ GHz$ ويستعمل بصورة مكثفة في أبحاث الفضاء السحيق. وهناك مخططات تبعاً للنموذج Jp والنموذج Ja من أجل كل من الهوائيات "الردية" و"المتوسطة" و"الجيدة" والتي تقابل جذر متوسط تربيع (rms) تسامح السطح بمقدار $1/15$ و $1/30$ و $1/60$ من طول الموجة على التوالي. وتشير الحالات (a) و (b) و (c) إلى تمثيل خططي وتمثيل خططي موسع وتمثيل لوغاريمي لمتغير الزوايا على محور الإحداثيات الأفقي.

المقارنة $D/\lambda = 4\ 000$ (مثال ذلك هوائي ذو قطر $34\ m$ يعمل قرب النطاقين 32 و $37\ GHz$)

تقابل الأشكال 6-4 حالات هوائي قطره 4 000 طول موجه، وهوائيات قطرها 34 متراً تعمل بالقرب من النطاقين 32 و $37\ GHz$ حيث يتعلق الأمر بالتقاسم بين أبحاث الفضاء السحيق والتطبيقات عالية الكثافة في الخدمة الثابتة (HDFS).

الأداء تبعاً لتسامح السطح

يبين من النماذجين المقترحين Jp و Ja أن أداء الكسب في منطقة الحزمه الرئيسية وفي منطقة الفصوص الجانبية تتغير بتغيير تسامح السطح. وفي النماذجين Jp و Ja تفترض كفاءة الفتحة المبدئية بقيمة $\eta_{\text{ref}} = 0,8$ ، دون اعتبار آثار تسامح السطح. وهذه قيمة نموذجية لمجموع كفاءة الفتحة وكفاءة الانسكاب بالنسبة لقيمة اسمية لتناقص الحافة قدرها $11-10\ dB$. وتضرب هذه القيمة المبدئية بعامل تسامح السطح للتوصيل إلى الكفاءة الصافية لفتحة الهوائي. وعوامل تسامح السطح مبنية ضمناً في العلاقات الحسابية، وهي $0,5$ و $0,9$ و $1,0$ للحالات "الردية" و"المتوسطة" و"الجيدة" على التوالي. ومن ثم فإن الكفاءة الصافية لفتحة بالنسبة للحالات الثلاث هي $0,4$ و $0,7$ و $0,8$ على التوالي. ويلاحظ أن كفاءة الفتحة هذه يجب أن تضرب بعوامل خسارة أخرى، كالخسارة في قرن التغذية، للتوصيل إلى الكفاءة الإجمالية للهوائي. وفي حالة النماذج الأخرى لا يؤخذ تسامح السطح صراحة في الاعتبار. وتفترض كفاءة الفتحة بقيمة $0,7$ لهذه النماذج في جميع الحالات.

فمن بين الهوائيات واسعة الفتحة المستخدمة في أبحاث الفضاء السحيق في شبكة الفصوص الحالية لدى وكالة الفضاء NASA مثلاً يمكن توصيف تسامح السطح للهوائيات التي يبلغ قطرها 34 متراً بأنها "جيدة" عند التردددين $GHz\ 2,3$ و $GHz\ 8,4$ و "متوسطة" إلى "جيدة" عند تردد $GHz\ 32$ ، و "متوسطة" احتمالاً عند $GHz\ 37$ عند التطبيق. ويمكن توصيف تسامح السطح في الهوائيات التي يبلغ قطرها 70 متراً بأنها "جيدة" عند التردددين $GHz\ 2,3$ و $GHz\ 8,4$ ، و "ردية" احتمالاً عند $GHz\ 32$ لدى التطبيق.

الكسب المحسوب وسطياً عبر جميع الزوايا

تبين الأشكال 9-7 (a و b) مقارنة للكسب المحسوب وسطياً عبر جميع الزوايا وفقاً للمعادلات الواردة لمختلف النماذج التي نوقشت، باستعمال ثمادج هوائيات النوعية "الردية" و"المتوسطة" و"الجيدة" لحالات النماذجين Jp و Ja و بين الحالات a و b الكسب المحسوب وسطياً بوحدة dB والمقياس الخططي على التوالي. ويوضح أن النماذجين Jp و Ja متsequan عبر مدى النسبة D/λ (قطر الهوائي إلى طول الموجة). وعندما تكون النسبة D/λ مرتفعة قرب $4\ 000$ ، فإن الحالة "المتوسطة" تبدي متوسط كسب أخفض بينما تبدي الحالات "الجيدة" قدرأً أخفض من متوسط الكسب، مما هو الحال في ثمادج أخرى.

ويبيان الشكل 10 (a و b) مجموعة مماثلة من الرسوم البيانية لحالة هوائي قطره 34 متراً (على أساس mm لقيمة جذر متوسط التربيع لخطأ السطح) عبر مدى التردد $GHz\ 40-1$. وتبين الأشكال أن النموذج Jp (ذروة) يعطي نسبة متوسط

كسب أفضل من نموذج التوصية ITU-R F.699، وعلى غرار ذلك بين النموذج Ja (المتوسط) نسبة كسب متوسط أفضل من متوسط الكسب في نموذجي التوصيتين ITU-R F.1245 وITU-R RA.1631، في جميع الترددات.

ويبين الشكل 11 (a و b) الرسمين البيانيين المقابلين لموائي قطره 70 متراً (على أساس 0,60 mm قيمة جذر متوسط التربع لخطأ السطح) عبر مدى التردد من 35-1 GHz. وكما يبدو في الشكل، بالنسبة لموائي قطره 70 متراً في شبكة الهواء السباق عند التردد 32 GHz، فإن نسبة الكسب المتوسط أعلى إلى حد ما مما هو الحال في النماذج الأخرى وذلك بسبب سلوك هذا الموائي عند ترددات عالية جداً ومحاولة هذا النموذج لتحقيق تواؤم جيد للفصوص الجانبيتين الأعلى في المحيط، الأمر الذي لا توفره النماذج الأخرى. وإذا كان لهذا الموائي أن يستعمل عند مثل هذه الترددات العالية فإن الأمر يستدعي تحسين تسامح السطح.

مقارنة مع مخططات الإشعاع النظرية عند أطوال علاقات ارتباط مختلفة لخطأ السطح

يضم الشكل 12 (a و b و c) مخططات نظرية لفتحة دائيرية محسوبة باستعمال وظيفة تقريب لاما (وظيفة بسيط المعيارية) للمخطط، وهي تشمل أيضاً أثر تسامح السطح باستعمال علاقات Ruze [Ruze, 1966]. وهنالك عدة مخططات نظرية تقابل مختلف "أطوال الارتباط" لأخطاء السطح. وبين هذه الأشكال، وهي محسوبة على أساس D/λ تساوي 4 000، أن النموذجين Jp و Ja يوفران غالباً أفضل مما يوفره نموذج التوصية 7 ITU-R F.699-7. وفي المخططات النظرية المحسوبة تكون نسبة السد 0,1 وإنارة مجال الفتحة بالشكل $E = (1 - c)(1 - r^2) + c(1 - n^2)$ وحافة الإنارة بقيمة $ET = 10 \text{ dB}$ ، $c = 10^{-(ET/20)}$ ، وعامل الخدار بقيمة $n = 1$.

ويقارن الشكل 12a مخططات الكسب لموائي "رديء" حيث يساوي جذر متوسط التربع لخطأ السطح مقدار $(1/15)\lambda$. والنموذج Jp بمثابة غلاف أعلى قريباً لجميع المنحنيات النظرية المقابلة لمختلف افتراءات أطوال الارتباط. ولكن نموذج غالاف الذروة في التوصية 7 ITU-R F.699-7 يتم تجاوزه إلى حد بعيد من جانب منحنيات الكسب النظرية لعدة حالات من أطوال الارتباط عند زوايا تَخَالُف أكبر من 1° . كما يتم تجاوزها أيضاً في بعض الحالات عند زوايا تَخَالُف بين $0,05^\circ$ و $0,1^\circ$. بل إن النماذج النظرية تتجاوز إلى حد أكبر نماذج "متوسط الكسب" في التوصيتين ITU-R F.1245 وITU-R RA.1631، كما هو متوقع.

يبين الشكل 12b مقارنة لموائي "متوسط" تسامح السطح. ويتبين أن الفروق تتضاعل وكل النموذج Jp ونموذج التوصية 7 ITU-R F.699-7 يمثلان غالافات أعلى صالحة لتجاوزات بسيطة في أسوأ حالة. ويبداً نموذج التوصية 7 ITU-R F.699 يتجاوز النموذج Jp عند زوايا بين $0,1^\circ$ و 10° .

ويبدو في الشكل 12c وحيث تسامح سطح الموائي "جيد"، أن النموذج Jb مازال يمثل غالافاً علويّاً صالحاً لمنحنيات الكسب النظرية في كل الحالات ماعدا أسوأ حالات طول ارتباط خطأ السطح. ويتجاوز نموذج الذروة ITU-R F.699 النموذج Jp بنحو 5 dB بين الروايا $0,1^\circ$ و 30° . وحق نماذج الكسب المتوسط، في التوصيتين ITU-R F.1245 وITU-R RA.1631، تتجاوز النموذج Ja بنحو 2 dB.

4 نموذج الكسب المتوسط

نموذج الكسب المتوسط على أساس Ja

في المناطق الزاوية بين $0,1^\circ$ و 50° يتراجع مخطط إشعاع الموائي كما تبين في المخططات النظرية التي نوقشت أعلاه. ويبالغ أي غالاف ذروة في هذه المنطقة في تقدير كسب الموائي عند زوايا عديدة. وفي دراسة للتوافق تتناول العديد من مصادر التداخل الموزعة عبر جميع الزوايا في هذه المنطقة من المستحسن تخفيض كسب الغلاف لتقليل الانحياز في تقدير التداخل الكلي. وكما نوقش في الفقرة 2، الحالة (ه) يمكن اعتبار المتوسط في هذه المنطقة على أنه أخفض بقدر 3 dB تقريباً من سويات ذروة التأرجح.

وما أن مخطط الإشعاع لموائي المخطة الأرضية المعينة غير معروف، وبما أن نموذج غالاف الذروة كالنموذج Jp يكاد يكون الغلاف الأدنى في صنف الموائيات قيد النظر، فإن من المقبول تخفيض سويات الكسب في النموذج Jp بقدر 3 dB في المنطقة

المعينة واستعمال النتيجة بمثابة "مخطط متوسط الكسب" في هذه المنطقة. ويقى "مخطط متوسط الكسب" هذا أعلى عند زوايا معينة من متوسط كسب مخطط الإشعاع الفعلي، إذا كانت معروفة.

ويرد "مخطط متوسط الكسب" هذا المشتق من نموذج الغلاف Jp في المقارنات الواردة في الأشكال من 1 إلى 12.

انحراف الكسب عن المخطط المتوسط

يمكن اعتبار مقدار 3 dB المخض بين 0,1° و 50° بمثابة مقياس لسوية عدم اليقين، أو التسامح، في مخطط كسب الهوائي المستعمل في برنامج المحاكاة الإحصائي مونت كارلو. ونظراً لعدم توفر البيانات بخصوص توزيع هذا الصنف من الهوائيات فإننا نقترح أن يكون التفاوت من متوسط الكسب دالة غوسية ، حيث تكون قيمة 3-5 مساوية 3 dB.

5 خاتمة

يقترح استعمال نموذج كسب رياضي، Jp، يمثل غلاف صنف هوائيات واسعة الفتحة تستخدم حالياً في المخططات الأرضية في خدمة الأبحاث الفضائية (SRS). وهو يأخذ في الحسبان تأثير تسامح السطح في توزيع الكسب في الخزمة الرئيسية وفي الفصوص الجانبية. وهو يشمل كفاءة الفتحة بأسلوب يؤثر في كل من منطقة الذروة ومنطقة الفصوص الجانبية. وقد ثبت أن لهذا النموذج خصائص تفوق خصائص النماذج القائمة في العديد من الجوانب.

ويقترح أيضاً استعمال نموذج "متوسط الكسب" ، Ja، لمزيد من الدقة في تقدير التداخل الكلي لعدد كبير من مصادر التداخل الموزعة وذلك بأسلوب المحاكاة (مونت كارلو) الإحصائي. وهنالك أيضاً نموذج بسيط يصف الانحراف غير الأكيد عن مخطط متوسط الكسب لاستعماله في عملية المحاكاة.

وبالنسبة لهوائي نموذجي قطره 34 مترًا أو 70 مترًا في أبحاث الفضاء السحيق والذي يعمل عند تردد 2,3 GHz أو 8,4 GHz فإن النموذج Jp (ذروة) يوفر غلافاً أقرب من غلاف نموذج التوصية ITU-R F.699-7 ونسبة متوسط كسب أفضل، كما يوفر النموذج Ja (المتوسط) تقريباً أفضل ونسبة متوسط كسب أفضل من نموذجي متوسط الكسب في التوصيتين ITU-R RA 1631 و ITU-R F.1245. وبالنسبة لهوائي قطره 34 m يعمل عند تردد 32 GHz أو 37 GHz يبقى ما تقدم صحيحًا.

ونظراً لكل أحوال التفاوت وعدم اليقين في مخططات الإشعاع بين الهوائيات، ونظراً إلى أن النموذج Jp المقترن يمثل غلافاً أعلى أقرب يقوم على أساس مبادئ فيزيائية، فإنه ينبغي استعماله في جميع دراسات التوافق والتقاسم باستعمال مخطط كسب هوائي حتمي واحد. وينبغي ألا يستعمل نموذج متوسط الكسب، Ja، إلا عندما يكون هنالك عدد كبير من مصادر التداخل الموزعة عبر مدى واسع من الزوايا خارج محور التسديد.

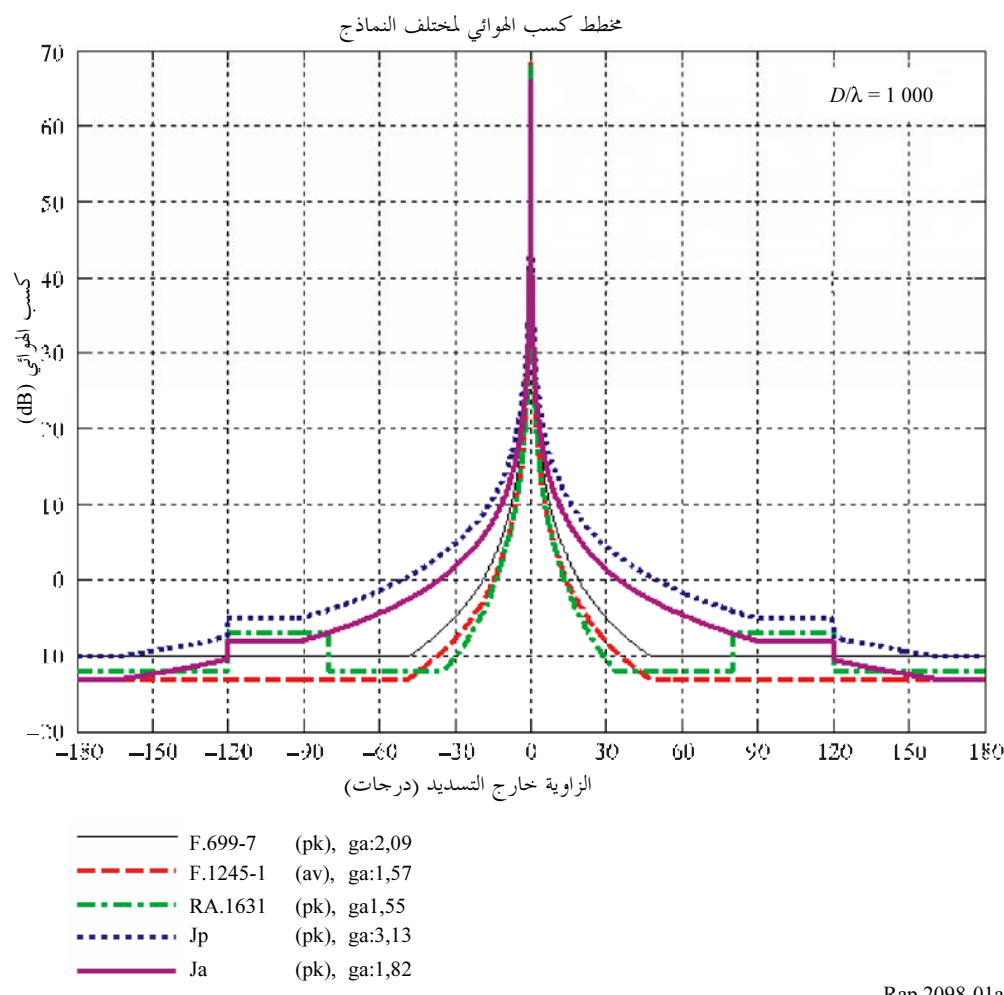
6 المراجع

JAMNEJAD, V. [March 8-13, 2003] Simple gain probability functions for large reflector antennas of JPL/NASA. IEEE Aerospace Conference, Big Sky, Montana.

RUZE, J. [April 1966] Antenna tolerance theory-A review. *Proc. IEEE*, Vol. 54, p. 633-640.

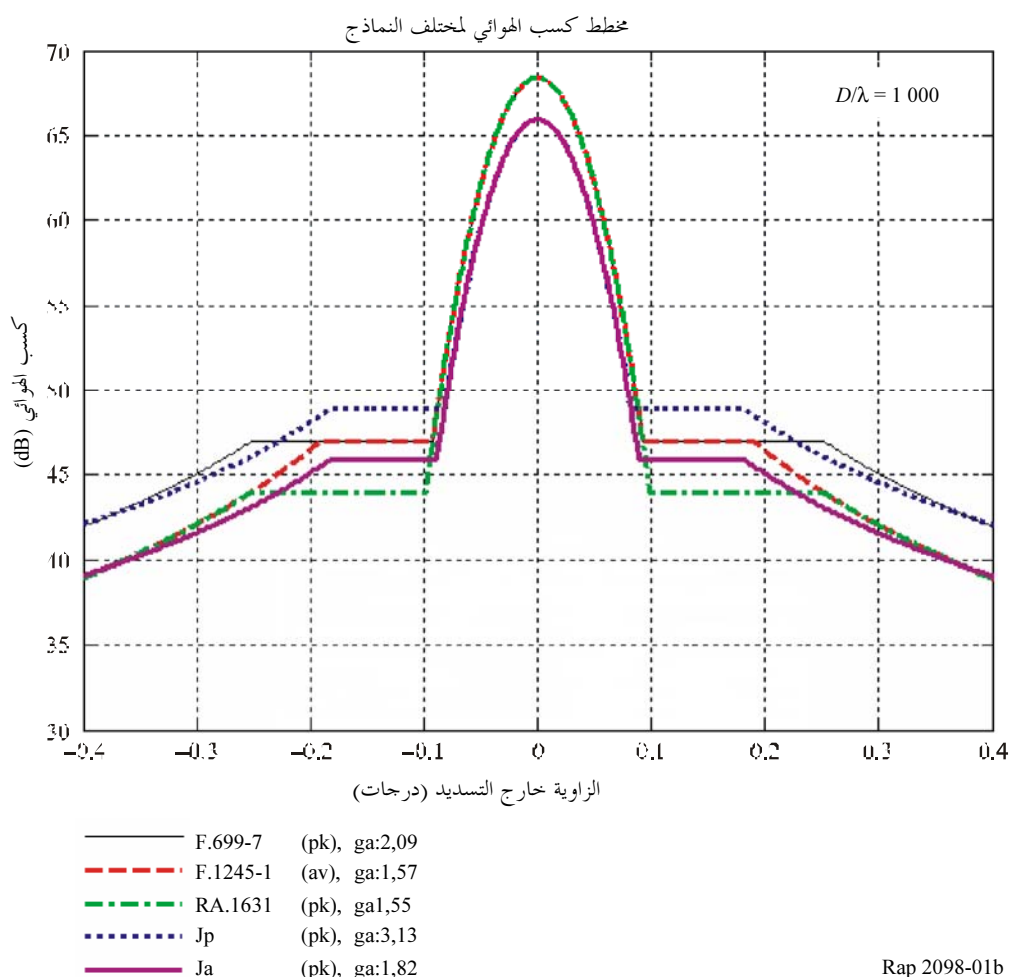
الشكل 1a

مقارنة نماذج مخطط الكسب هوائي قطره $D = 1\,000 \lambda$
 النموذجان J_p و Ja هوائي "رديء" حيث خطأ السطح
 (محور زاوية خطى)



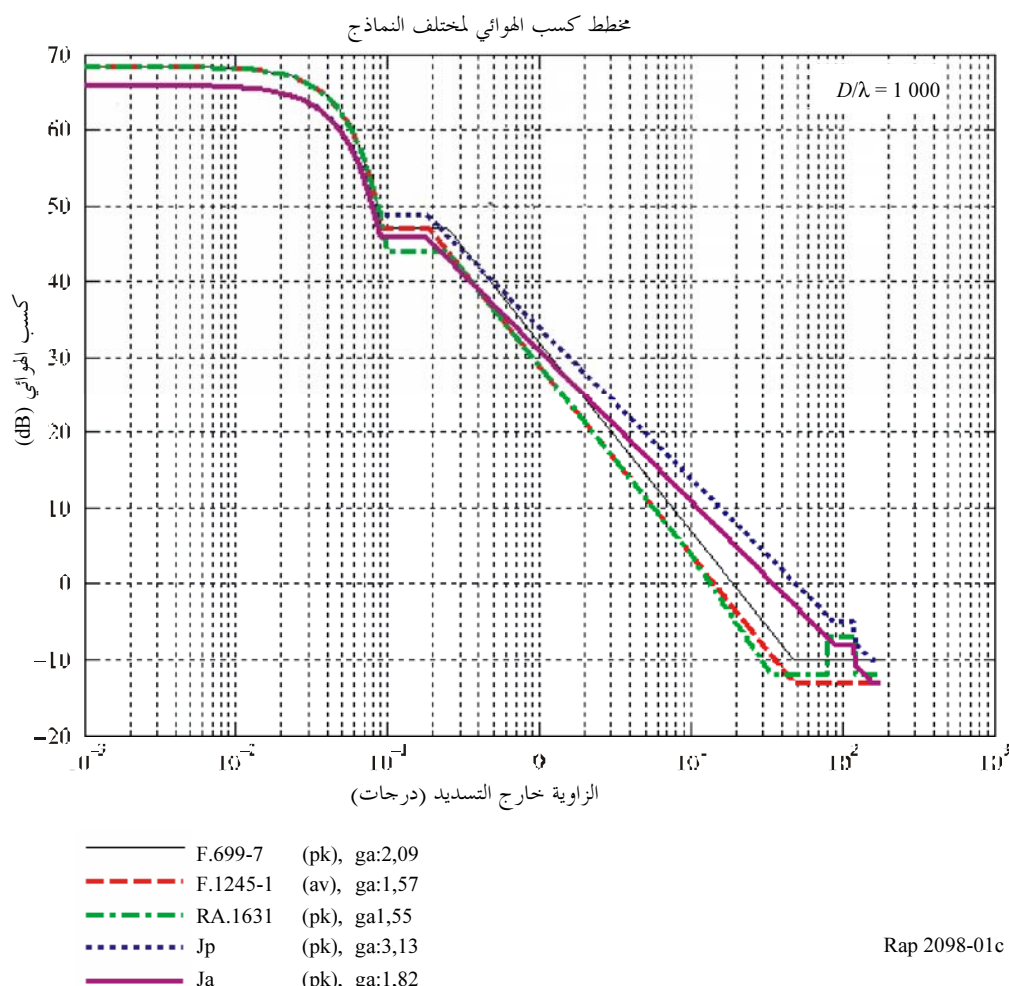
الشكل 1b

مقارنة نماذج مخطط الكسب الهوائي قطره $D = 1000\lambda$
 النموذجان J_p و J_a هوائي "رديء" حيث خطأ السطح
 (محور زاوية خطى موسع)



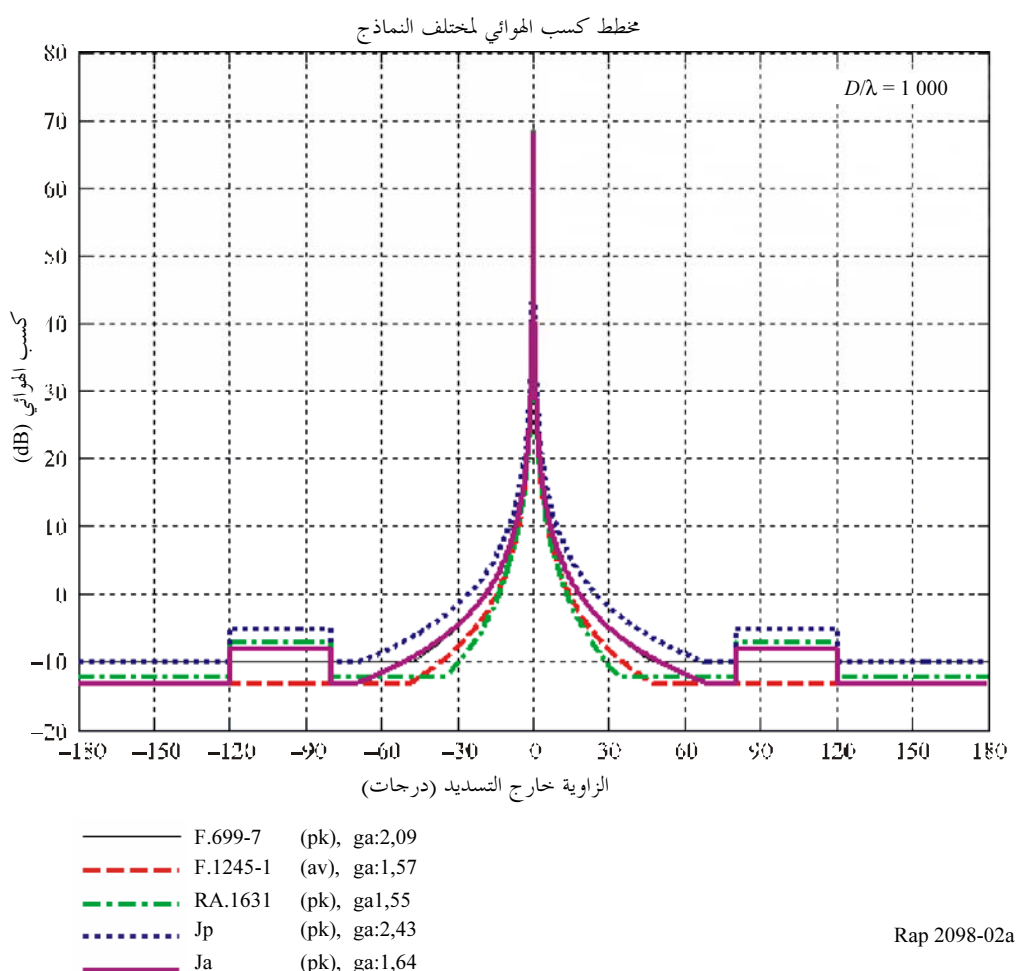
الشكل 1c

مقارنة خاذج مخطط الكسب هوائي قطره $D = 1\ 000 \lambda$
 الموجان J_p و J_a هوائي "رديء" حيث خطأ السطح
 (محور زاوية لوغاريتمي)



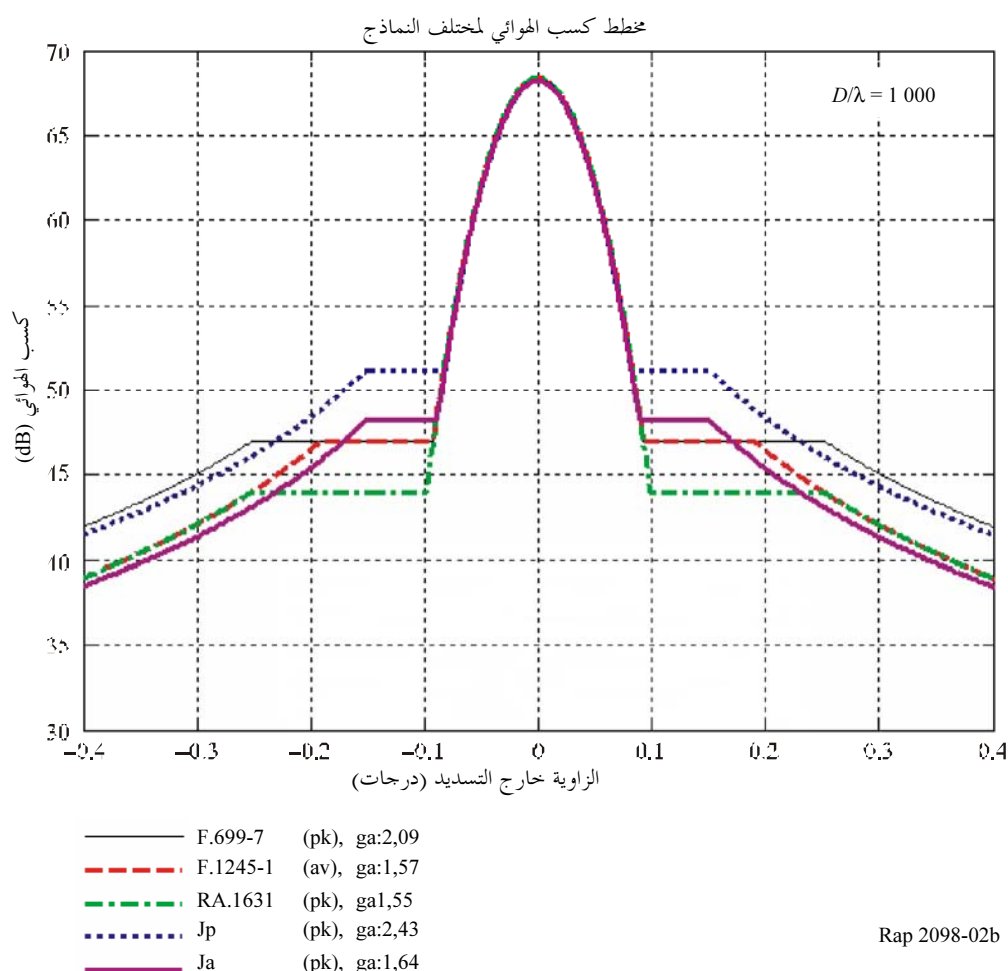
الشكل 2a

مقارنة نماذج مخطط الكسب الهوائي قطره $D = 1\,000 \lambda$
 المودجان Jp و Ja هوائي "متوسط" حيث خطأ السطح
 (محور زاوية خطى)



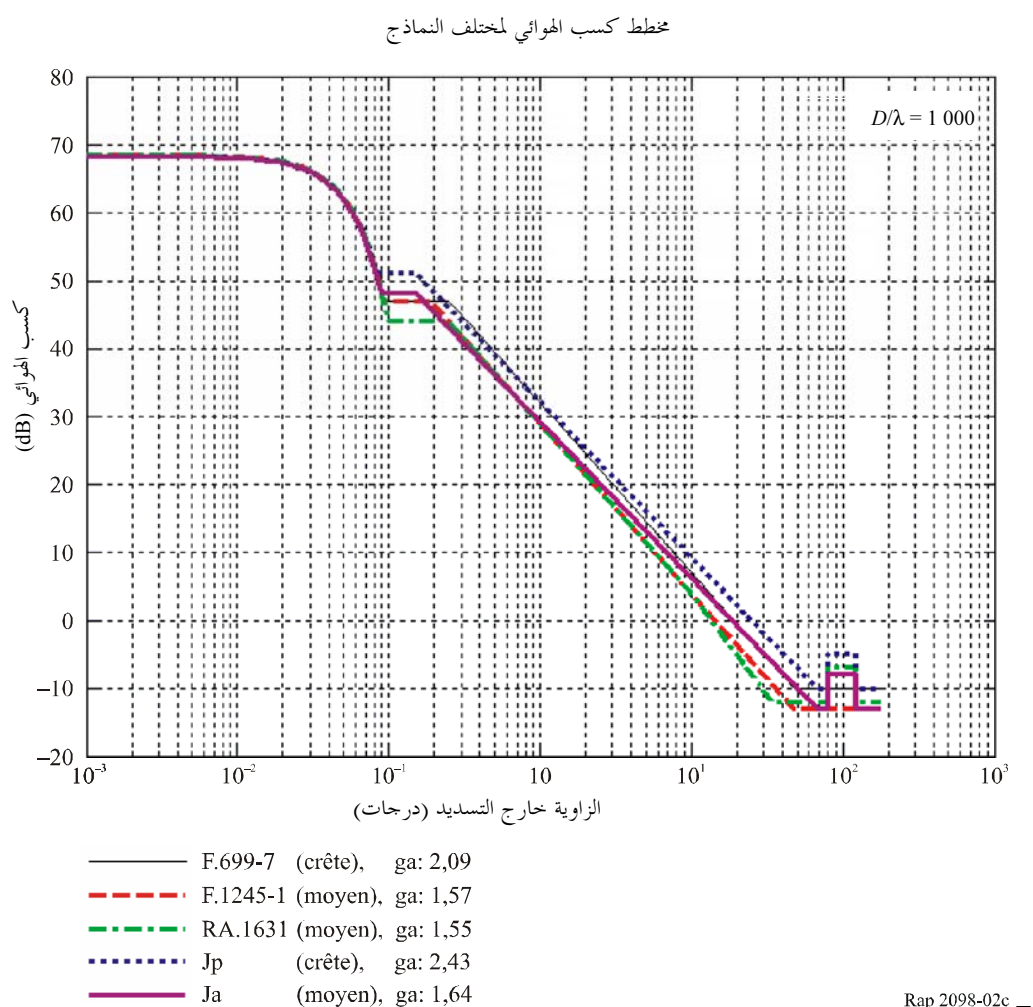
الشكل 2b

مقارنة خواص مخطط الكسب الهوائي قطره $D = 1\,000 \lambda$
 النموذجان J_p و J_a هوائي "متوسط" حيث خطأ السطح
 (محور زاوية خطى موسع)



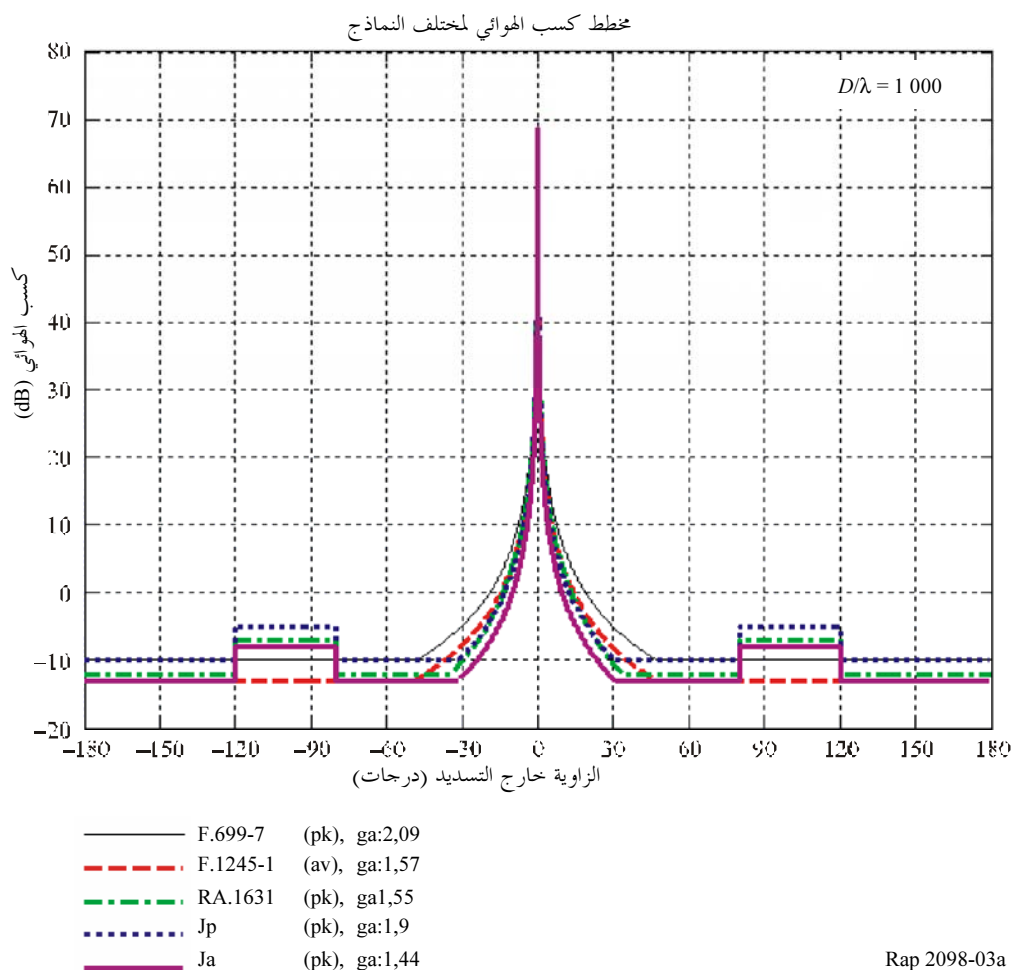
الشكل 2c

مقارنة خاذج مخطط الكسب الهوائي قطره $D = 1\,000\lambda$
 النموذجان J_p و J_a هوائي "متوسط" حيث خطأ السطح
 (محور زاوية خطى لوغاريتmic)



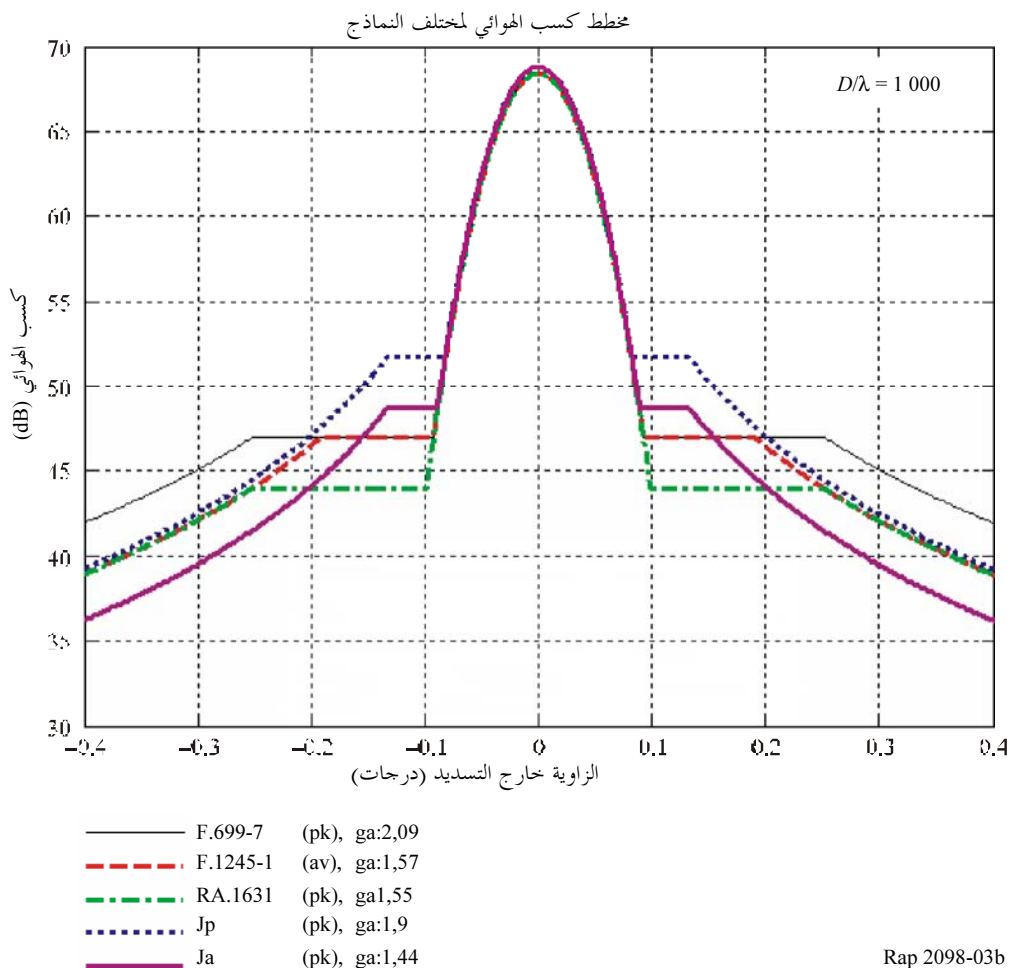
الشكل 3a

مقارنة نماذج مخطط الكسب هوائي قطره $D = 1\,000\lambda$
 النموذجان J_p و J_a هوائي "جيد" حيث خطأ السطح
 (محور زاوية خطى)



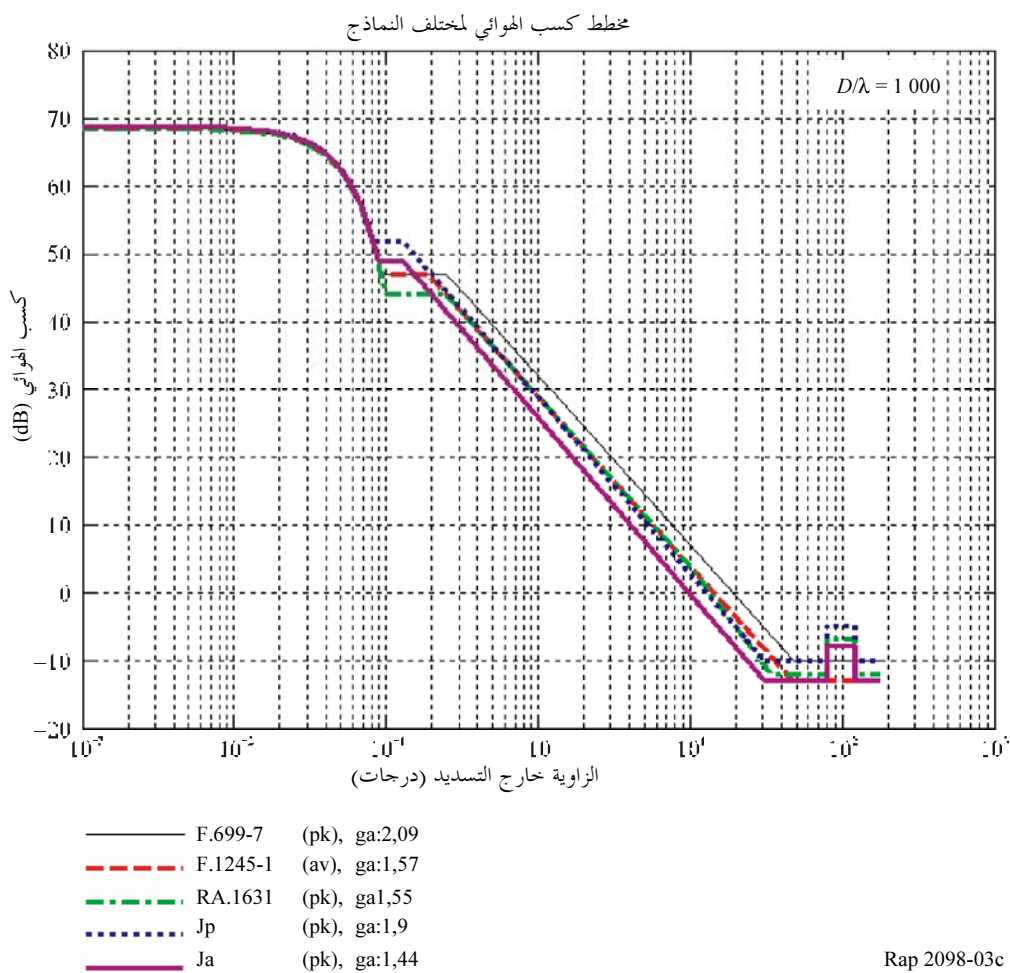
الشكل 3b

مقارنة نماذج مخطط الكسب هوائي قطره $D = 1\,000\lambda$
 $\lambda(1/60) = h_{rms}$ حيث خطأ السطح
 النموذجان Jp و Ja هوائي "جيد" حيث خطأ السطح
 (محور زاوية خطى موسع)



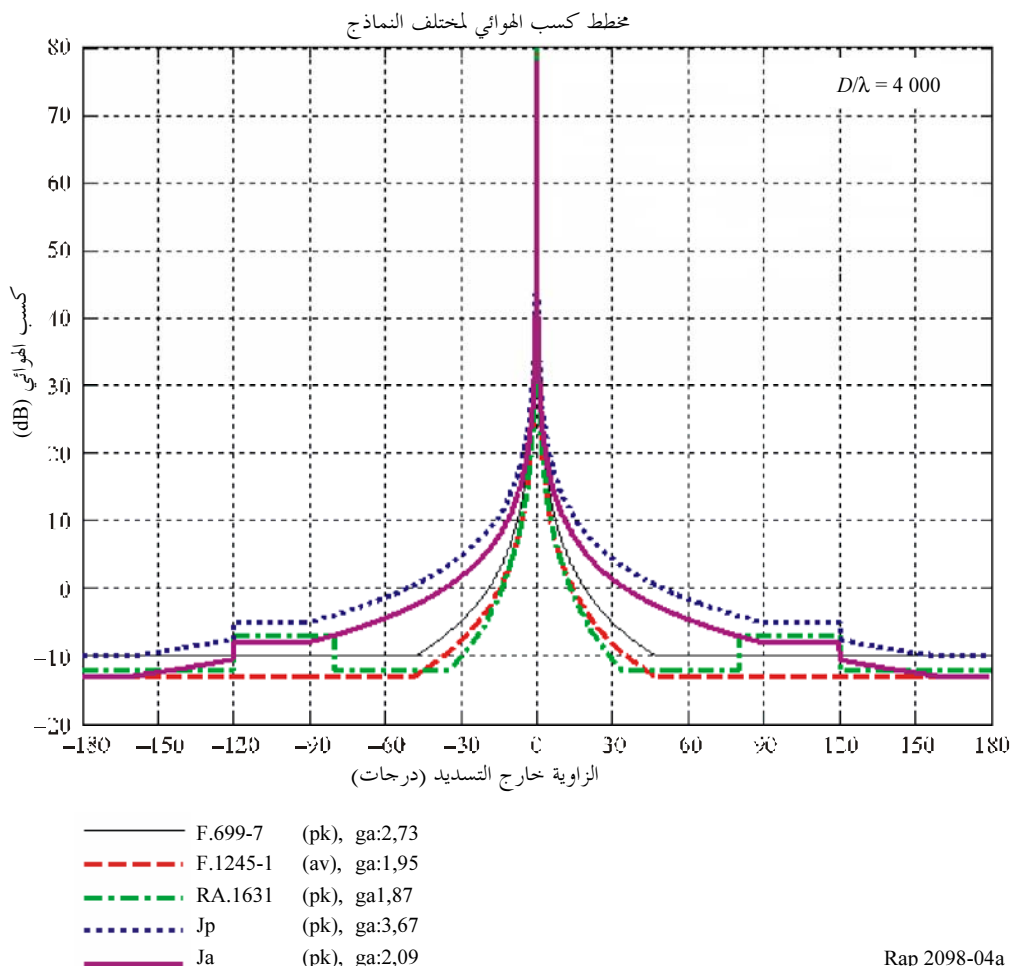
الشكل 3c

مقارنة خاذج مخطط الكسب هوائي قطره $D = 1\,000\lambda$
 $\lambda (1/60) = h_{rms}$ حيث خطأ السطح
 النموذجان Jp و Ja هوائي "جيد" حيث
 (محور زاوية لوغاريتمي)



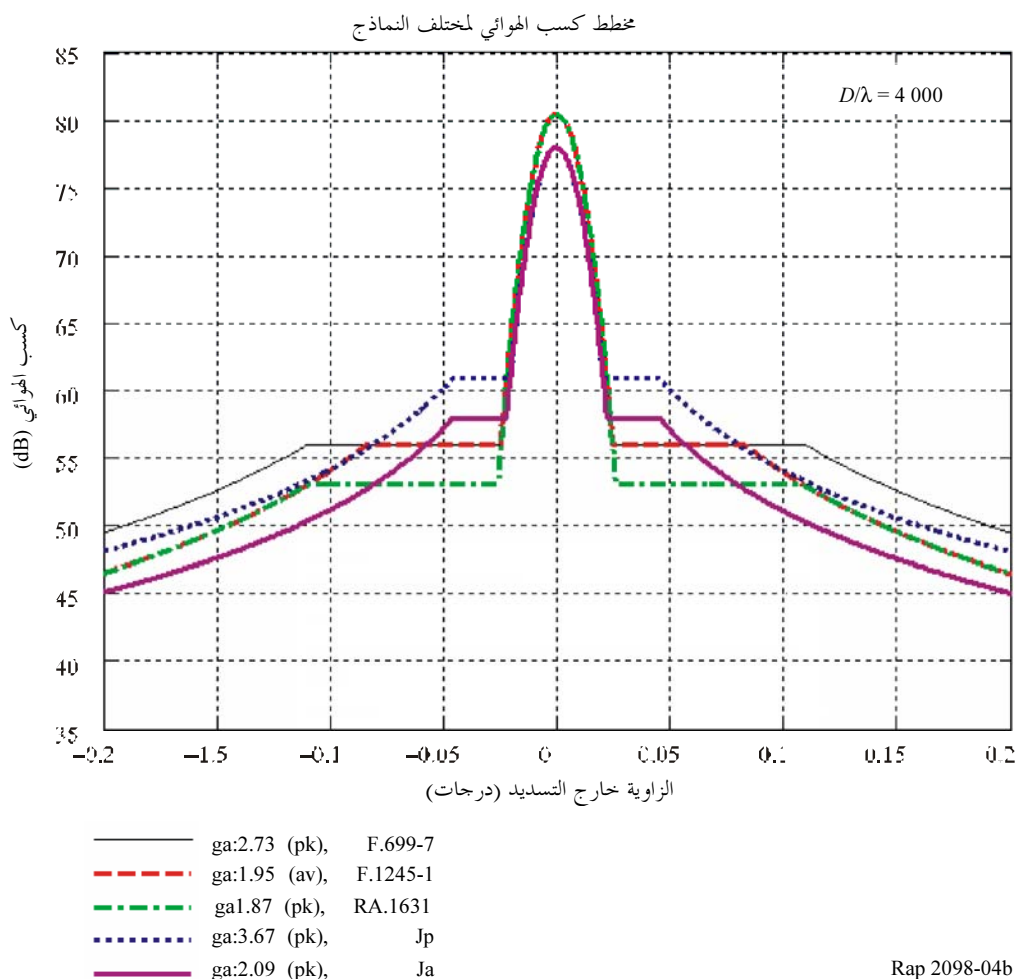
الشكل 4a

مقارنة نماذج مخطط الكسب الهوائي قطره $D = 4000 \lambda$
 النموذجان J_p و Ja هوائي "رديء" حيث خطأ السطح
 (محور زاوية خطى)



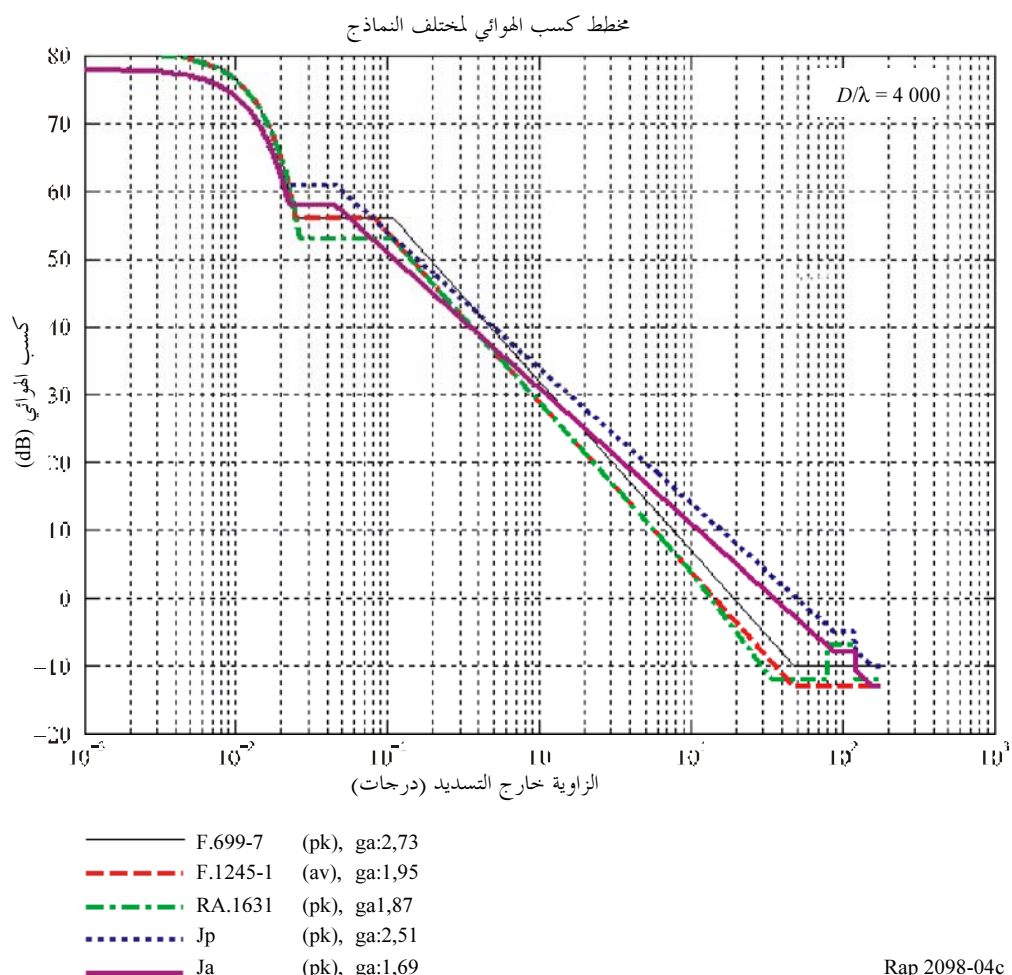
الشكل 4b

مقارنة نماذج مخطط الكسب الهوائي قطره $D = 4\,000 \lambda$
 النموذجان J_p و J_a هوائي "رديء" حيث خطأ السطح
 (محور زاوية خطى موسّع)



الشكل 4c

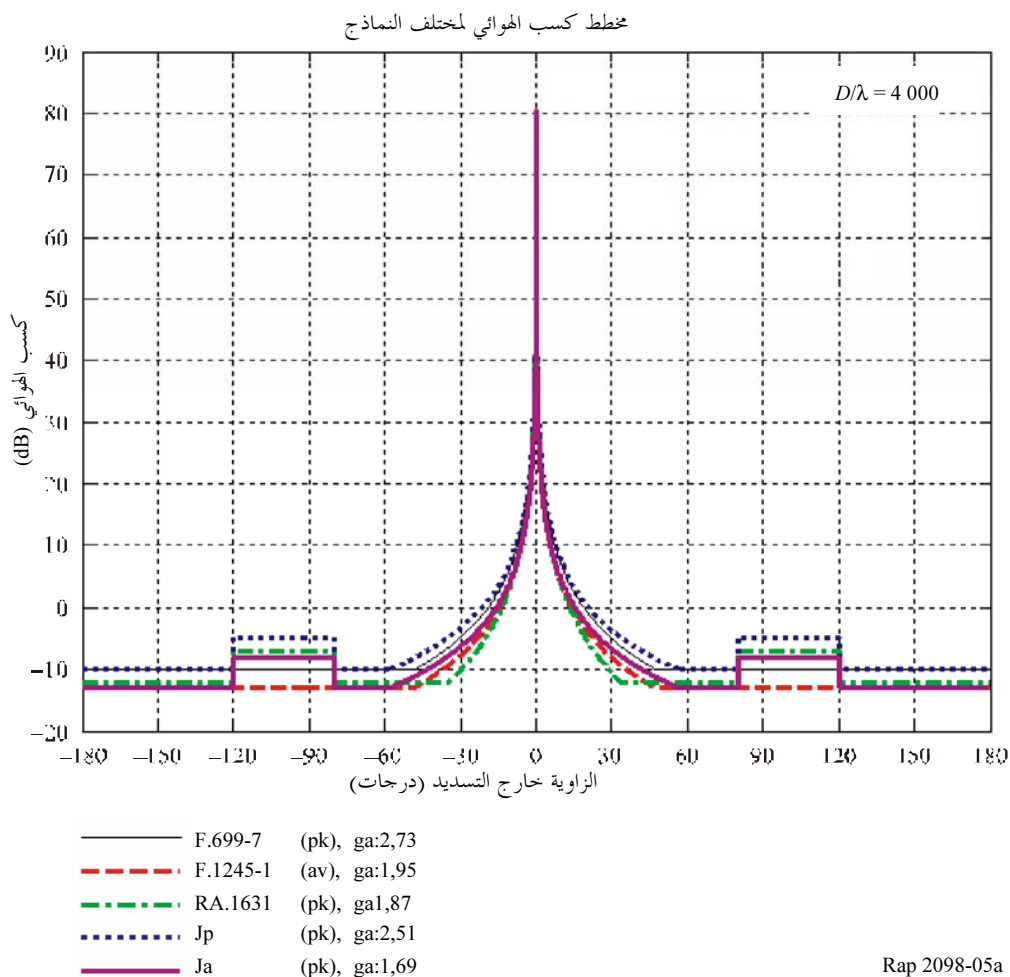
مقارنة خاذج مخطط الكسب هوائي قطره $D = 4000 \lambda$
 الموجان J_p و J_a هوائي "رديء" حيث خطأ السطح
 محور زاوية خطى لوغاريتmic)



الشكل 5a

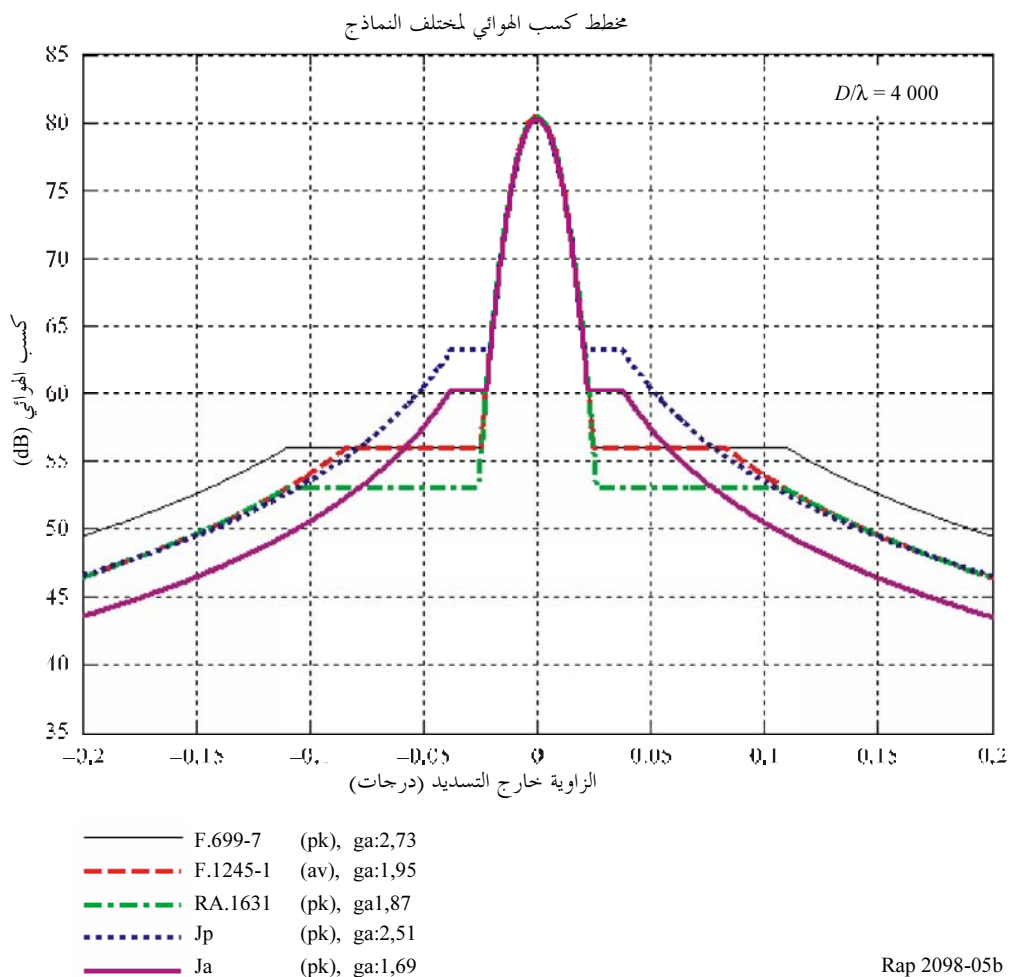
مقارنة خاذج مخطط الكسب هوائي قطره $D = 4\,000 \lambda$

النموذجان J_p و J_a لهما "متوسط" خطأ السطح $\lambda(1/30) = h_{rms}$ حيث خطأ السطح
 محور زاوية موسّع)



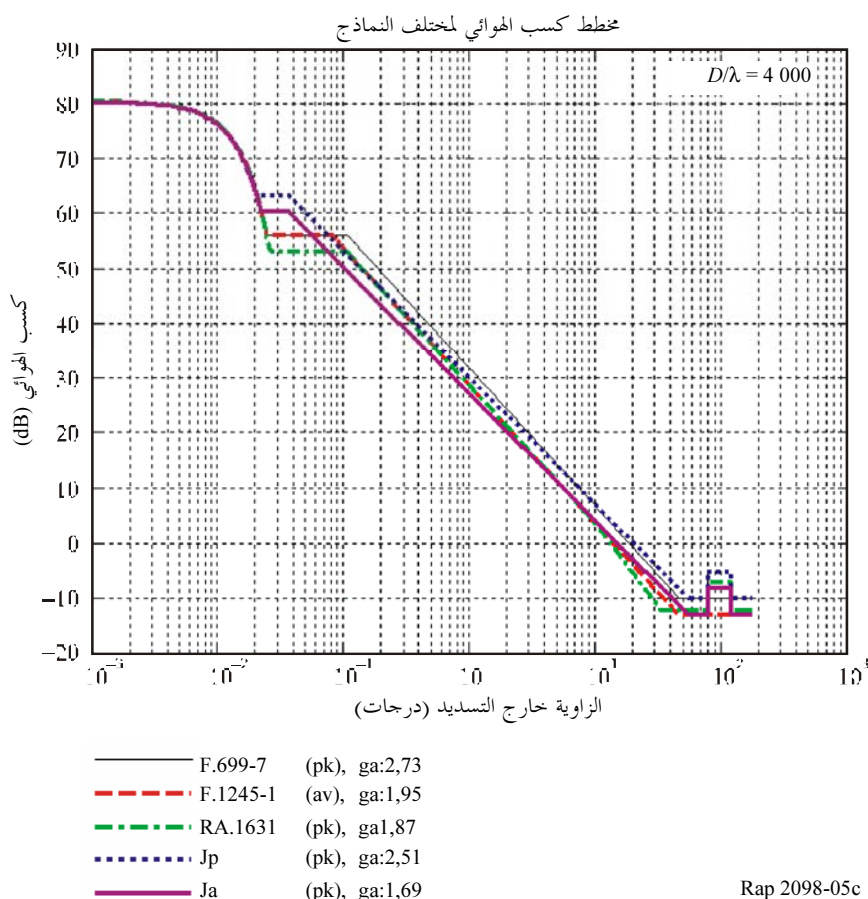
الشكل 5b

مقارنة نماذج مخطط الكسب الهوائي قطره $D = 4000 \lambda$
 النموذجان J_p و J_a هوائي "متوسط" حيث خطأ السطح
 (محور زاوية خطى)



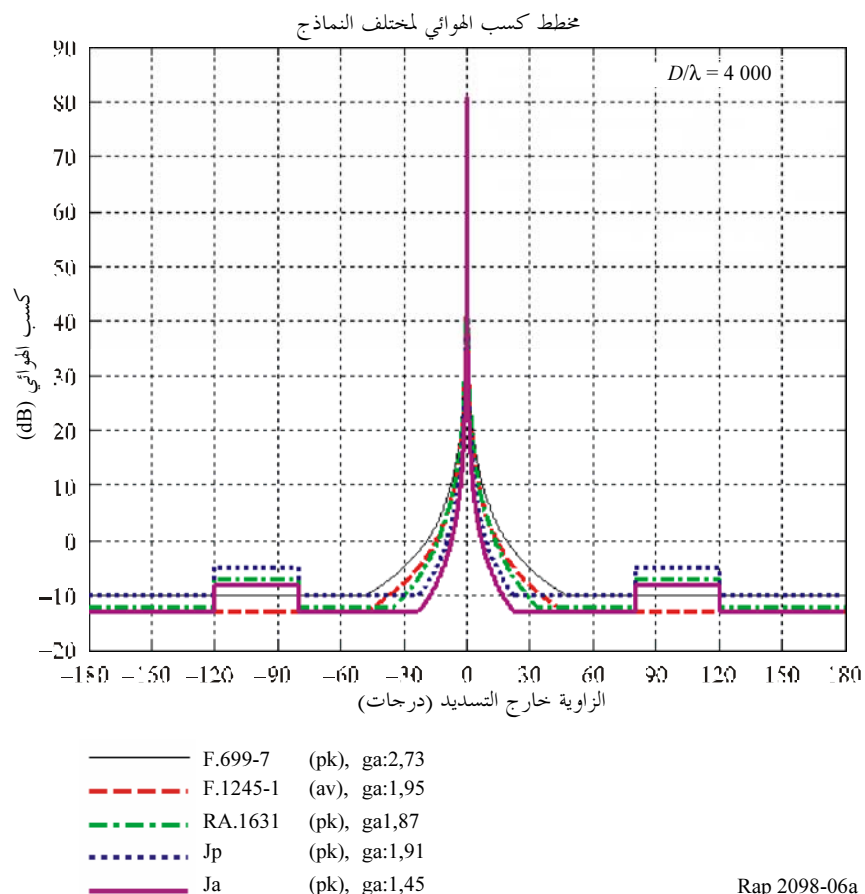
الشكل 5c

مقارنة نماذج مخطط الكسب الهوائي قطره $D = 4000$ المودجان J_p و J_a هوائي "متوسط" حيث خطأ السطح $h_{rms} = \lambda (1/30)$ (محور زاوية خطى لوغاريتمي)



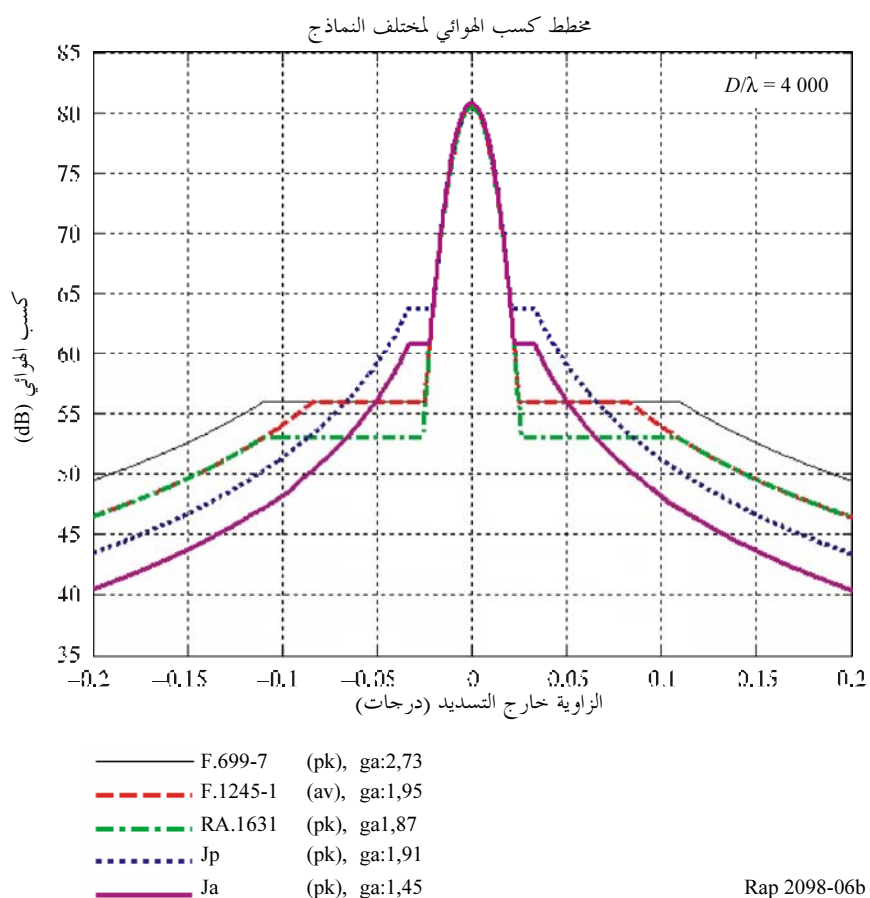
الشكل 6a

مقارنة خواص مخطط الكسب الهوائي قطره $D = 4000 \lambda$
 $\lambda (1/60) = h_{rms}$ حيث خطأ السطح
 النموذجان Jp و Ja هوائي "جيد" حيث خطأ زاوية خطوي



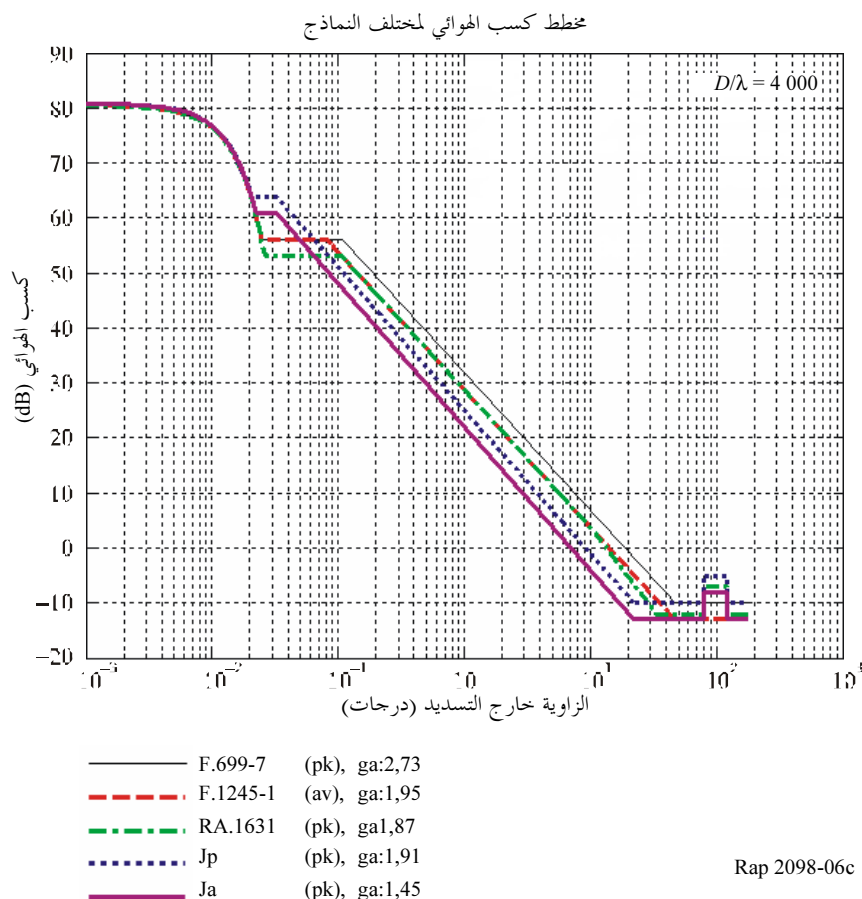
الشكل 6b

مقارنة خاذج مخطط الكسب الهوائي قطره $D = 4000 \lambda$
 $\lambda (1/60) = h_{rms}$ حيث خطأ السطح
 النموذجان Jp و Ja هوائي "جيد" حيث خطأ خططي موسع



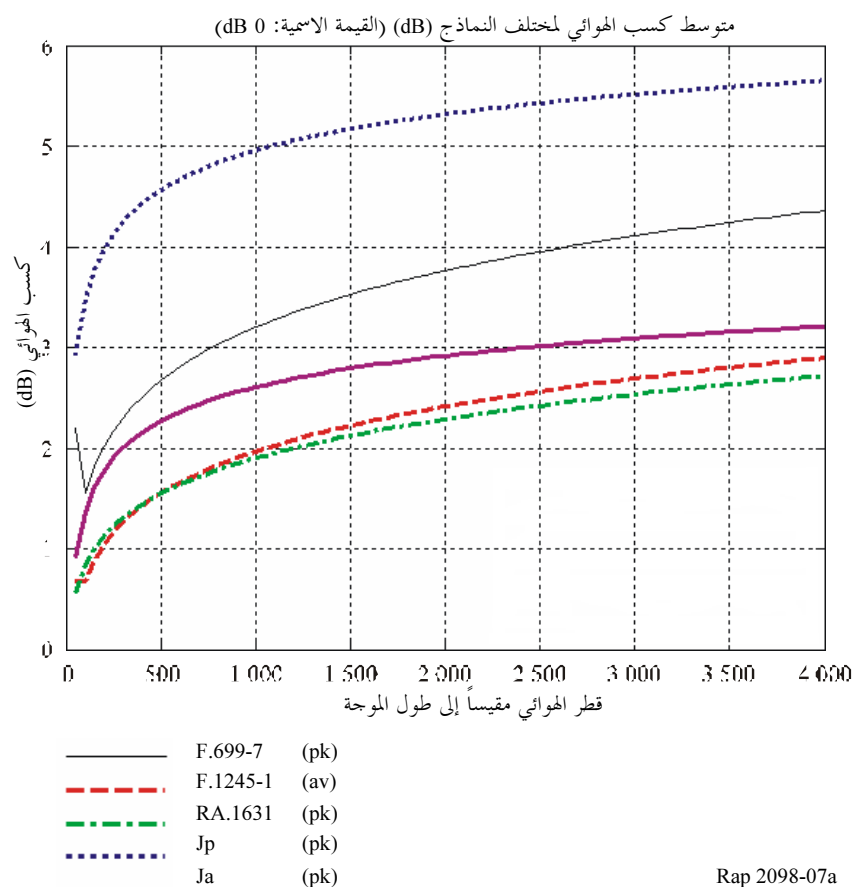
الشكل 6c

مقارنة خاذج مخطط الكسب الهوائي قطره $D = 4000\lambda$
 النموذجان J_p و J_a هوائي "جيد" حيث خطأ السطح
 (محور زاوية خطى لوغاريتمي)



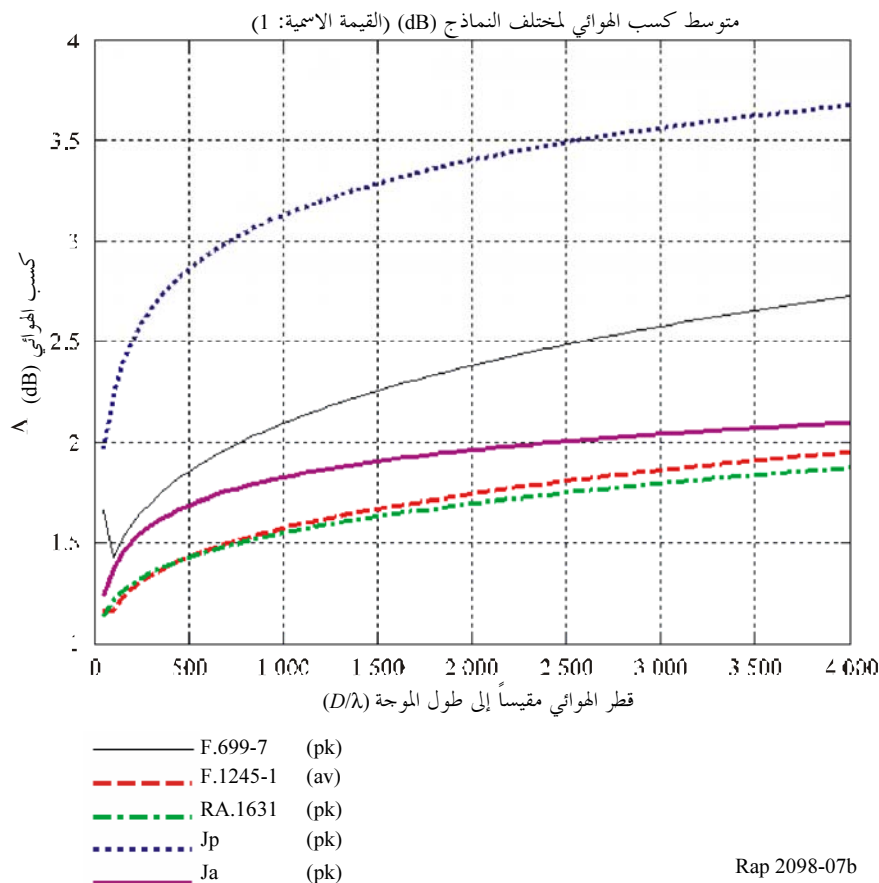
الشكل 7a

مقارنة متوسط الكسب لنماذج مختلفة مع نموذجي Jp و Ja
 هوائي "رديء" حيث خطأ السطح $\lambda / 15 = h_{rms}$
 متوسط الكسب (dB))



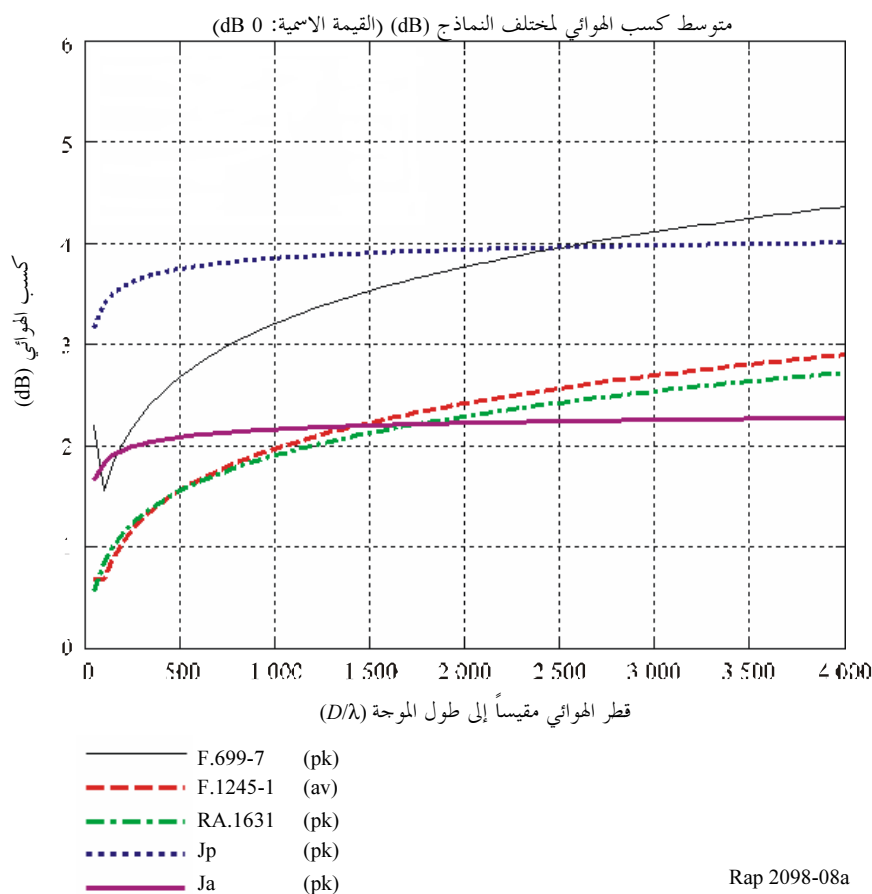
الشكل 7b

مقارنة متوسط الكسب لنماذج مختلفة مع غودجي Jp و
هوائي "رديء" حيث خطأ السطح
 $\lambda / 15 = h_{rms}$
(متوسط كسب خطى)



الشكل 8a

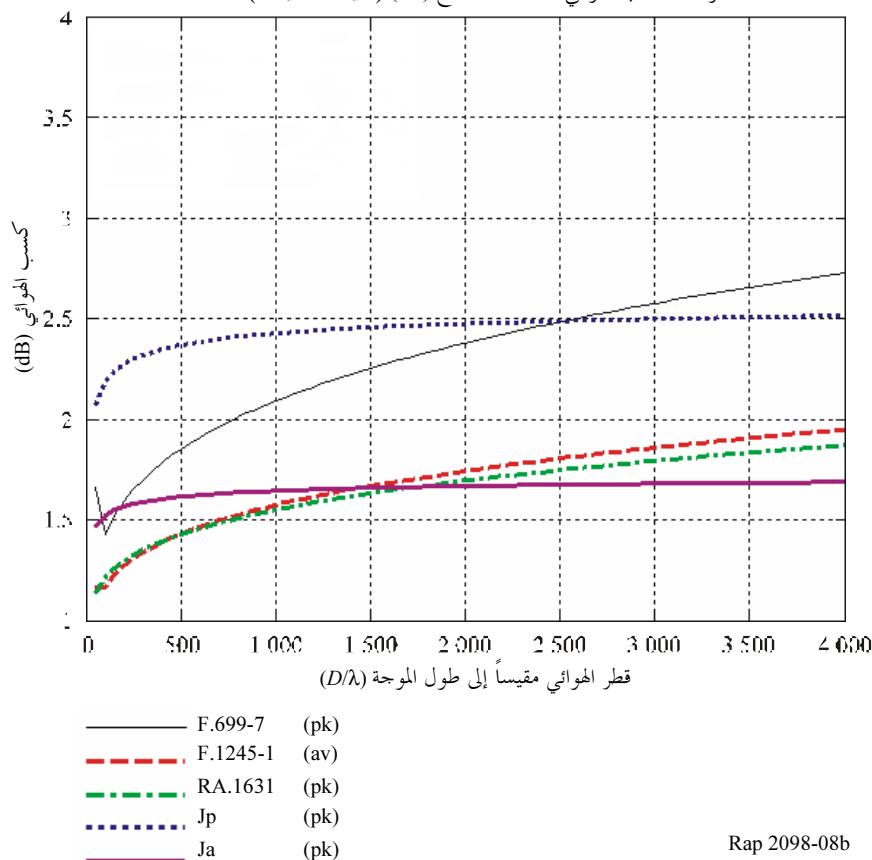
مقارنة متوسط الكسب لنماذج مختلفة مع نموذجي Jp و Ja
 $\lambda (1/30) = h_{rms}$ حيث خطأ السطح
 (متوسط الكسب (dB))



الشكل 8b

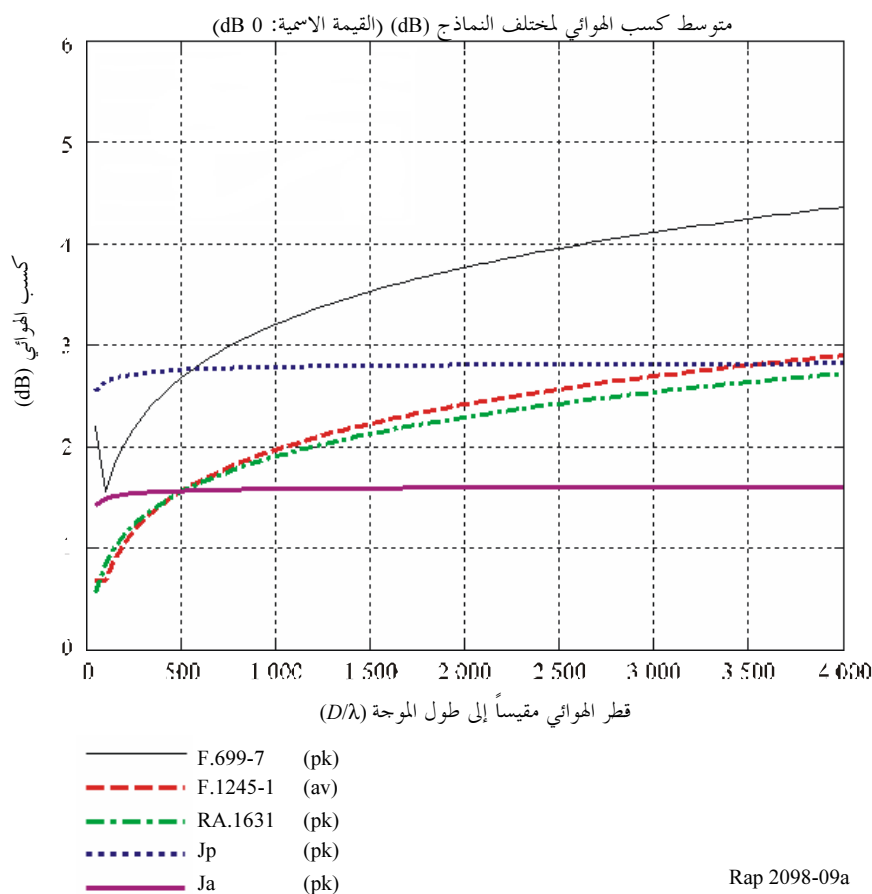
مقارنة متوسط الكسب لنماذج مختلفة مع غودجي Jp و
هوائي "متوسط" حيث خطأ السطح $\lambda (1/30) = h_{rms}$
(متوسط كسب خطى)

متوسط كسب الهوائي لمختلف النماذج (dB) (القيمة الأساسية: I)



الشكل 9a

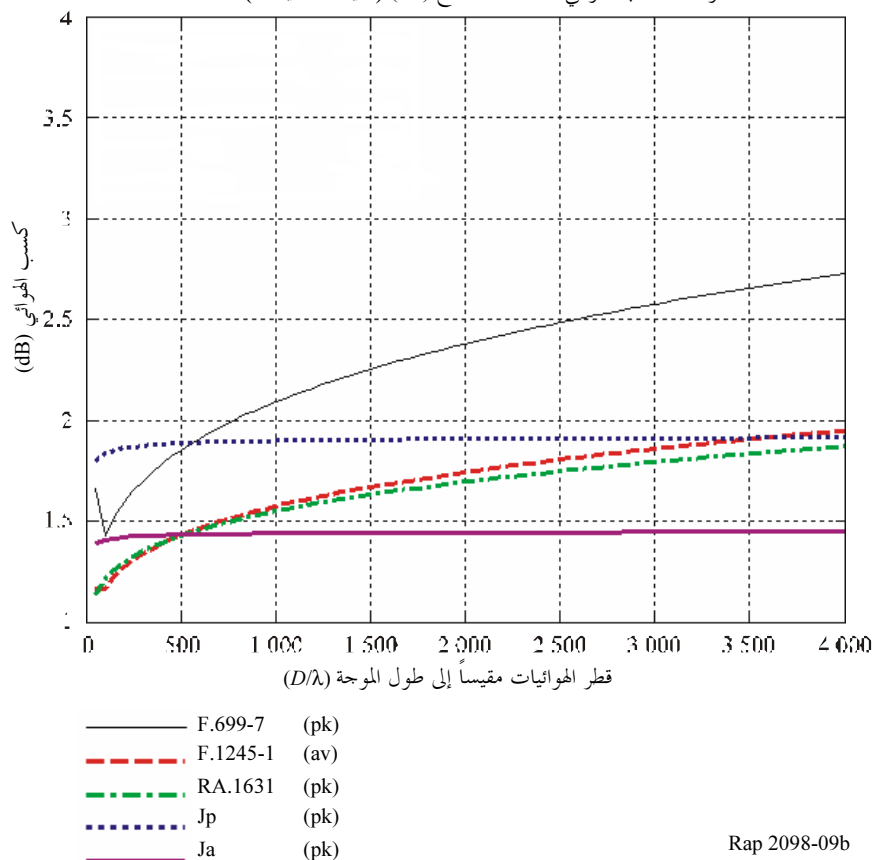
مقارنة متوسط الكسب لنماذج مختلفة مع غودجي Jp و
هوائي "جيد" حيث خطأ السطح
 $\lambda(1/60) = h_{rms}$
(متوسط كسب (dB))



الشكل 9b

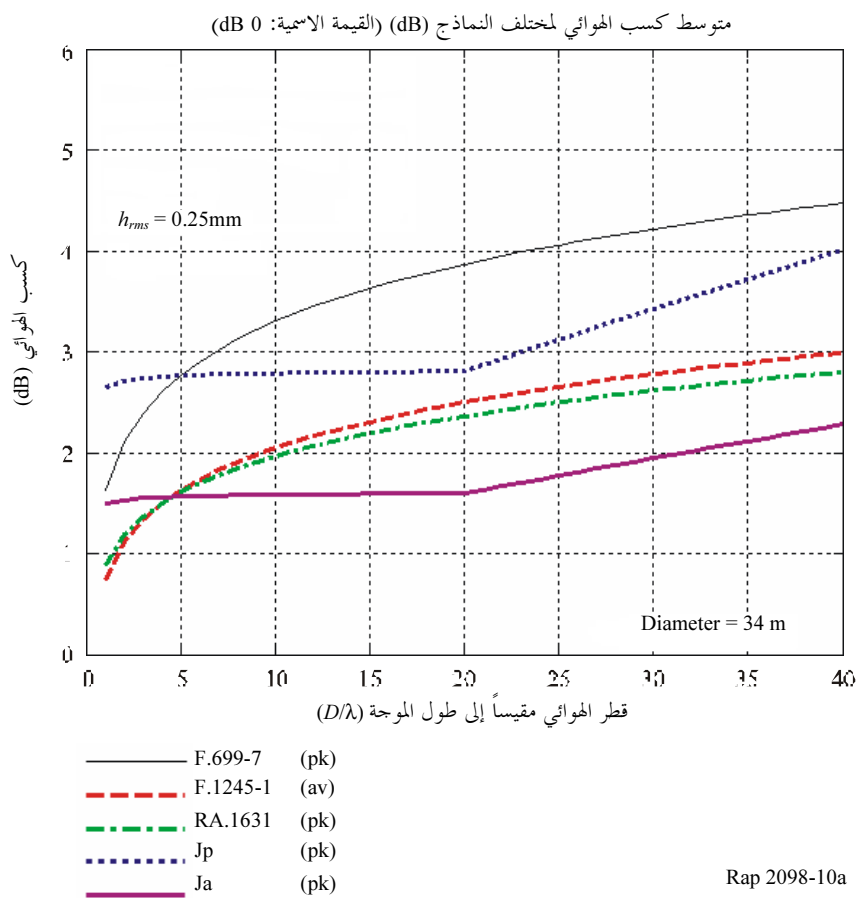
مقارنة متوسط الكسب لنماذج مختلفة مع نموذجين Jp و Ja
 هوائي "جيد" حيث خطأ السطح $\lambda(1/60) = h_{rms}$
 (متوسط الكسب خططي)

متوسط كسب الهوائي لمختلف النماذج (dB) (القيمة الاسمية: 1)



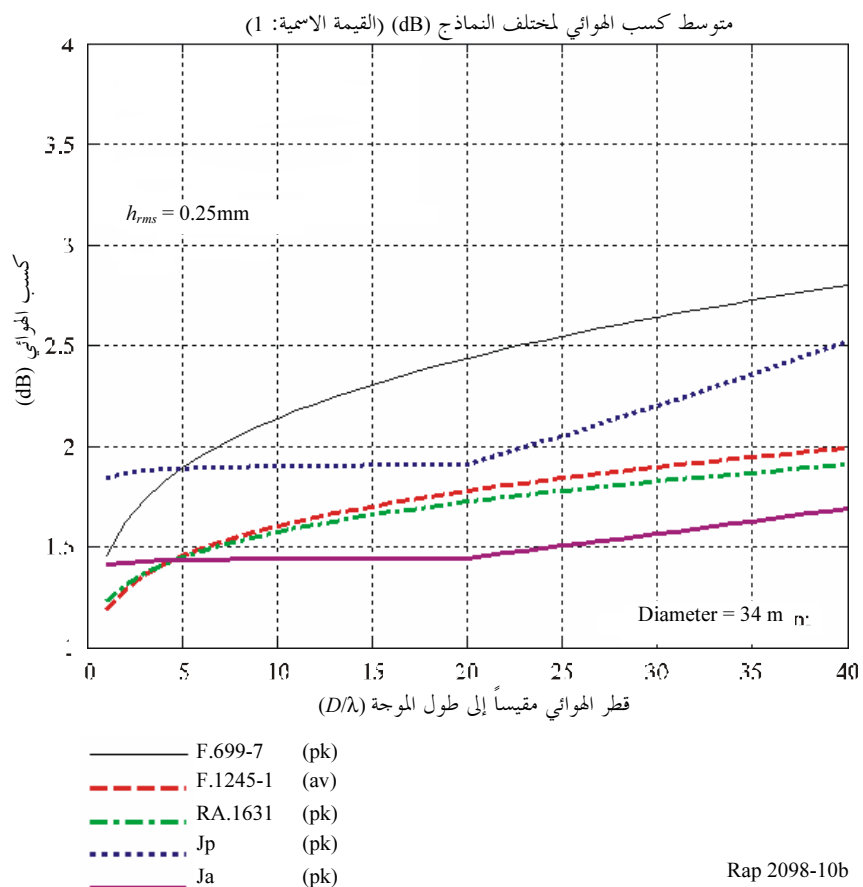
الشكل 10a

مقارنة متوسط الكسب لنماذج مختلفة مع نموذجين Ja و Jp
 هوائي قطره 34 متراً حيث خطأ السطح
 $mm\ 0,25 = h_{rms}$
 (متوسط الكسب (dB))



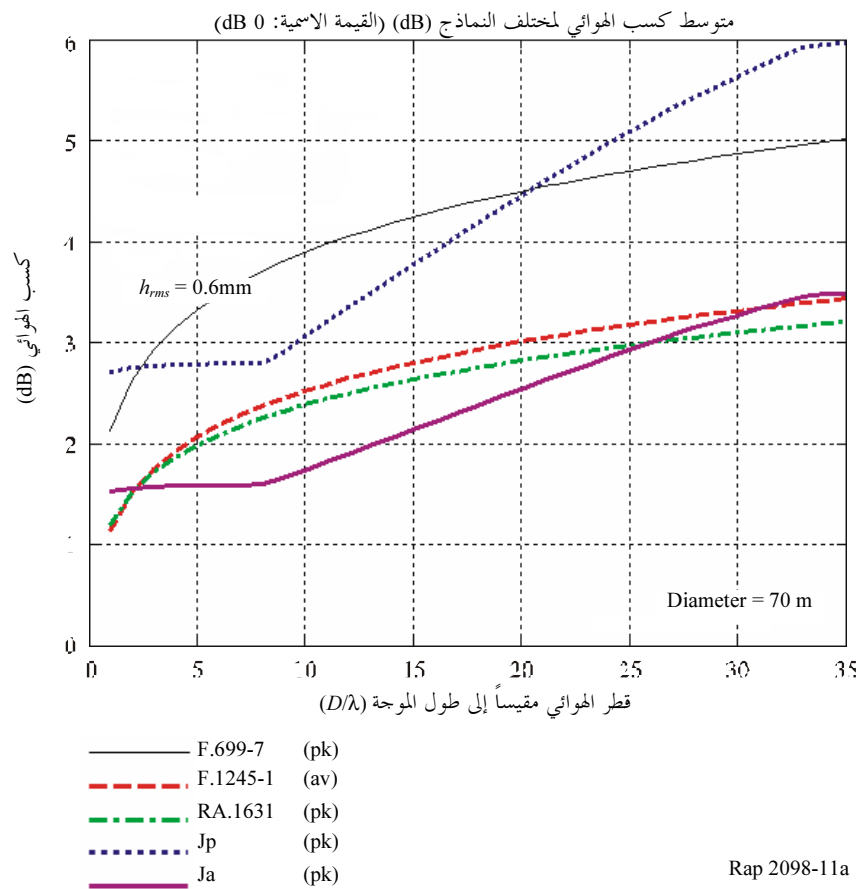
الشكل 10b

مقارنة متوسط الكسب لنماذج مختلفة مع غوذجي Jp و Ja
هوائي قطره 34 متراً حيث خطأ السطح mm 0,25 = h_{rms}
(متوسط كسب خطى)



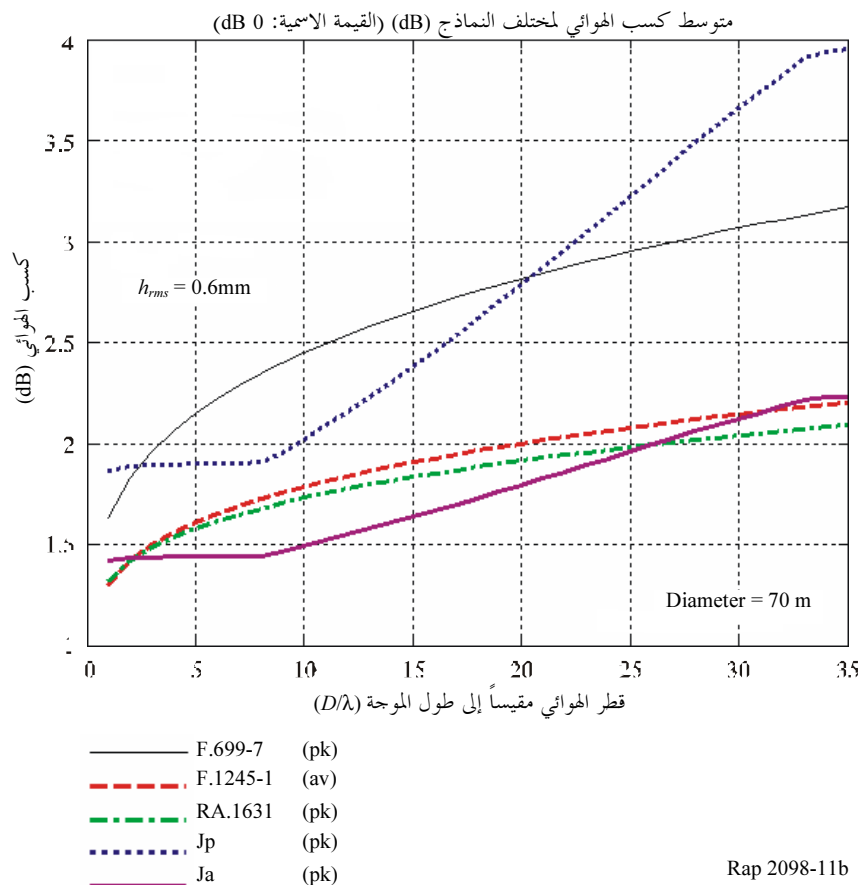
الشكل 11a

مقارنة متوسط الكسب لنماذج مختلفة مع غودجي Jp و Ja
 هوائي قطره 70 متراً حيث خطأ السطح mm 0,60 = h_{rms}
 (متوسط الكسب (dB))



الشكل 11b

مقارنة متوسط الكسب لنماذج مختلفة مع غودجي Jp و Ja
لهوائي قطره 70 متراً حيث خطأ السطح mm 0,60 = h_{rms}
(متوسط كسب خطى)



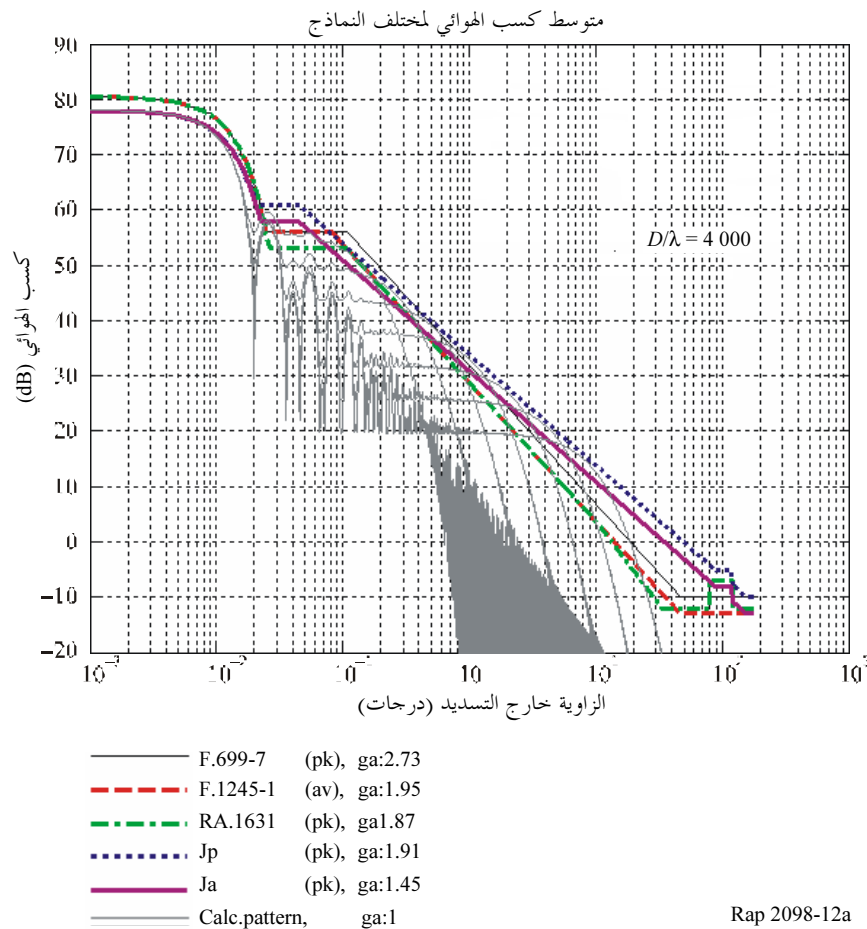
الشكل 12a

مقارنة متوسط الكسب لنماذج مختلفة مع غودجي Jp و

لهاي "رديء" حيث خطأ السطح $\lambda / 15 = h_{rms}$

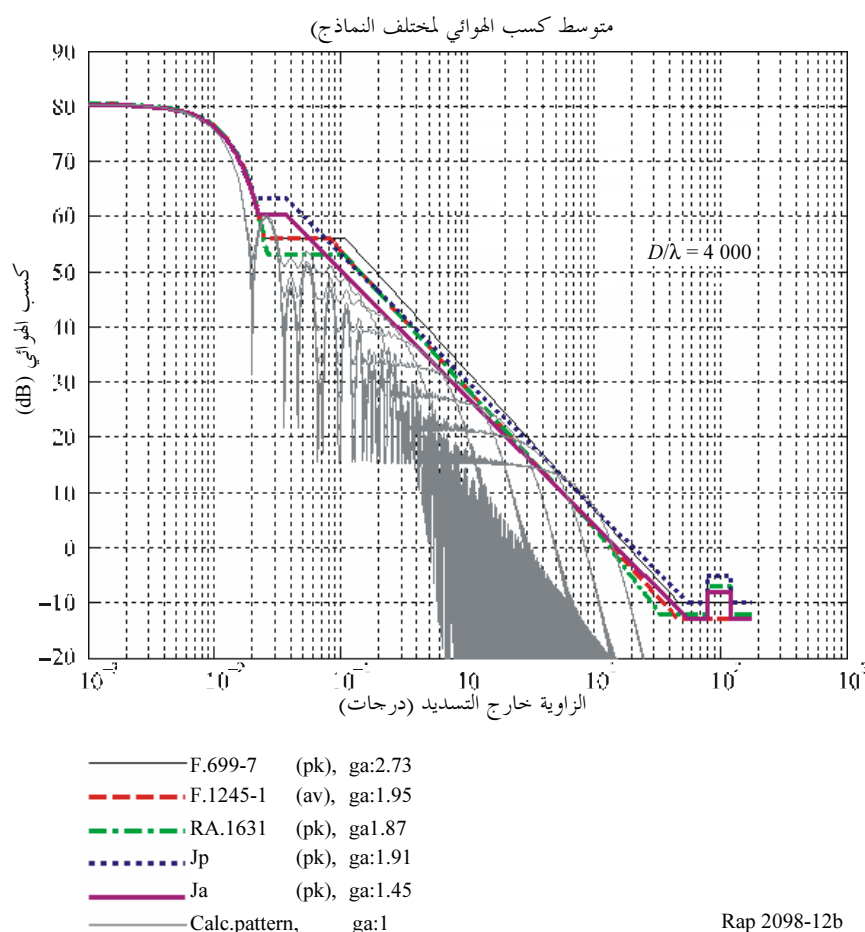
تشمل مخطط نظري محسوب لأطوال ارتباط مختلفة

$(160, 2, 5, 10, 20, 40, 80, 160 = c/\lambda)$



الشكل 12b

مقارنة متوسط الكسب لنماذج مختلفة مع نموذجي Jp و Ja
 هوائي "متوسط" حيث خطأ السطح $\lambda / (1/30) = h_{rms}$
 تشمل مخطط نظري محسوب لأطوال ارتباط مختلفة
 $(160, 80, 40, 20, 10, 5, 2,5 = c/\lambda)$



الشكل 12c

مقارنة متوسط الكسب لنماذج مختلفة مع نموذجي Jp و Ja

هوائي "جيد" حيث خطأ السطح $\lambda (1/60) = h_{rms}$

تشمل مخطط نظري محسوب لأطوال ارتباط مختلفة

$(160, 80, 40, 20, 10, 5, 2,5 = c/\lambda)$

